

UNIDAD TEMÁTICA N° 3

MODELADO DE COMPONENTES **(otros que no sean Líneas o Cables de Transmisión)**

y

SISTEMAS DE POTENCIA

Docentes: Ing. Julio César Turbay e Ing. Germán G. Lorenzón

En esta Unidad se verá el ...

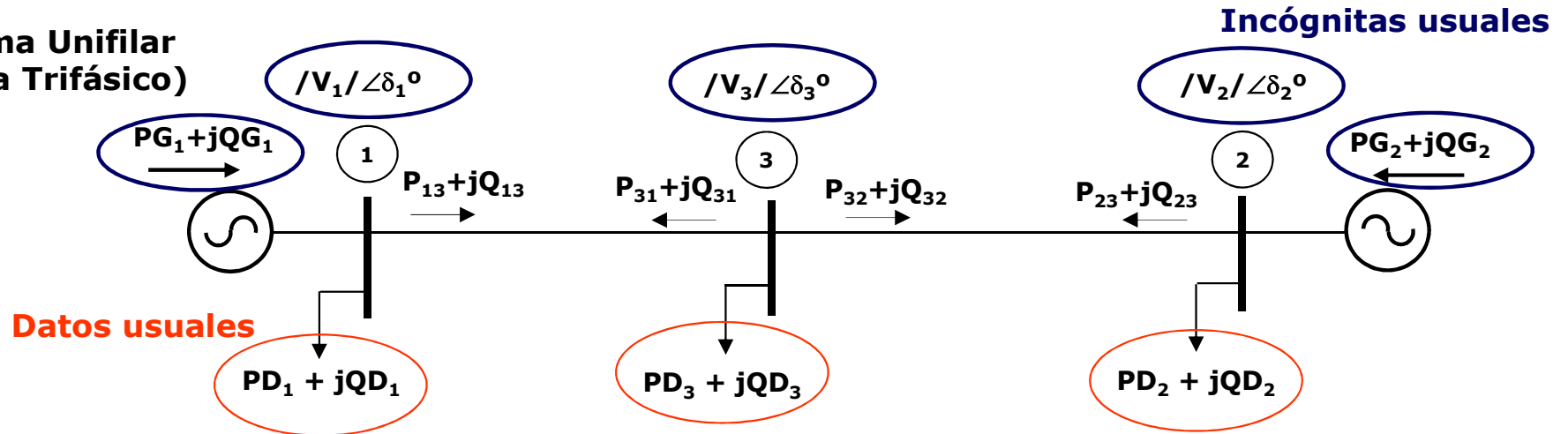
- **Modelado de las RED.**
- **Modelado de las DEMANDAS.**
- **Modelado de los TRANSFORMADORES.**
- **Modelado de las GENERADORES.**

¿ Para qué querríamos “modelar” los componentes de un SEP ...?

MODELADO DE LA RED Y DE LAS DEMANDAS

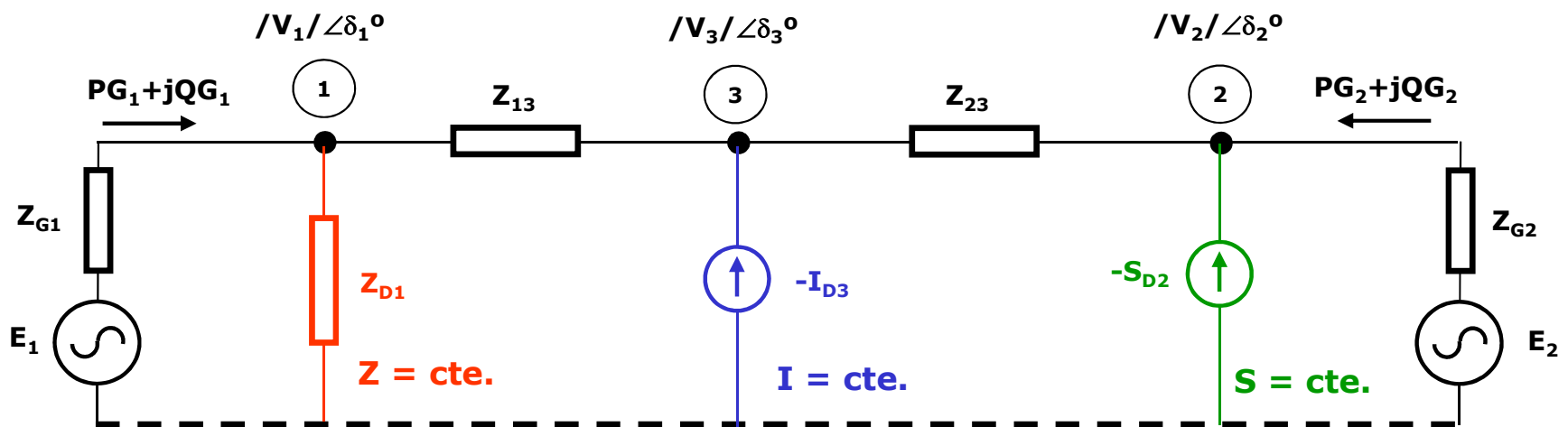
Del DIAGRAMA UNIFILAR al DIAGRAMA DE IMPEDANCIAS (en valores "reales" u "Óhmicos")

Diagrama Unifilar
(Sistema Trifásico)



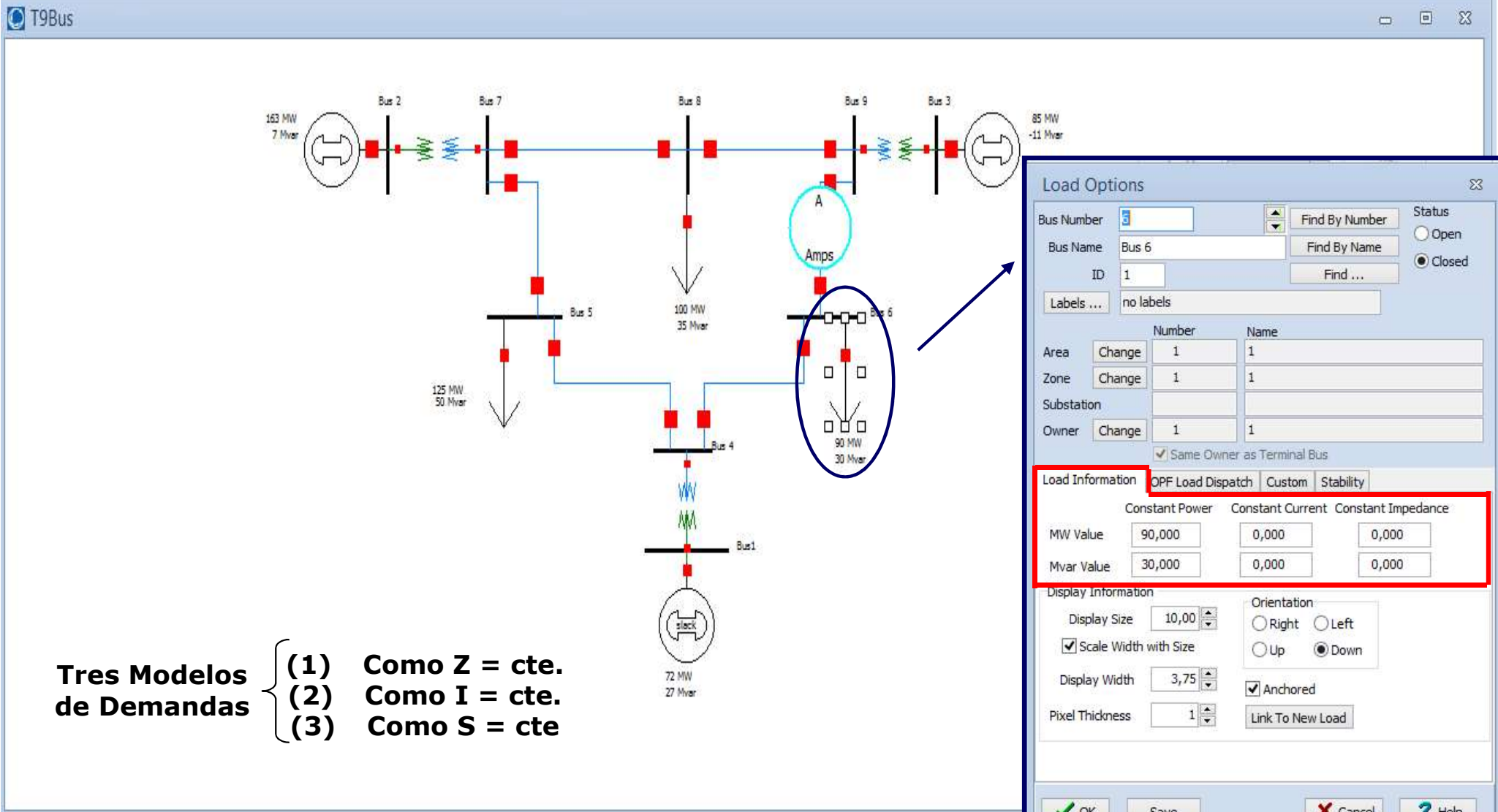
Incógnitas usuales

Diagrama de Impedancias
(Equivalente Monofásico con tres posibles modelos de demandas)



File Case Information Draw Onelines Tools Options Add Ons Window

Edit Mode Run Mode Mode Auto Insert Palette for Quick Insert Default Drawing... Network Aggregation Background Field Pies/Gauges Indication Select by Criteria... Select Region Rectangle Inside Select Format... Anchors Alignment Grouping Layers Undo Oneline Move/Formatting Paste Paste Special Copy Cut Delete Clipboard Zoom 56,25%



Load Options

Bus Number: 3
 Bus Name: Bus 6
 ID: 1
 Labels: no labels

Area: 1
 Zone: 1
 Substation: 1
 Owner: 1

Same Owner as Terminal Bus

Load Information: **OFF Load Dispatch** | Custom | Stability

	Constant Power	Constant Current	Constant Impedance
MW Value	90,000	0,000	0,000
Mvar Value	30,000	0,000	0,000

Display Information: Display Size: 10,00; Scale Width with Size: ; Display Width: 3,75; Pixel Thickness: 1; Orientation: Right, Left, Up, Down; Anchored; Link To New Load

OK Save Cancel Help

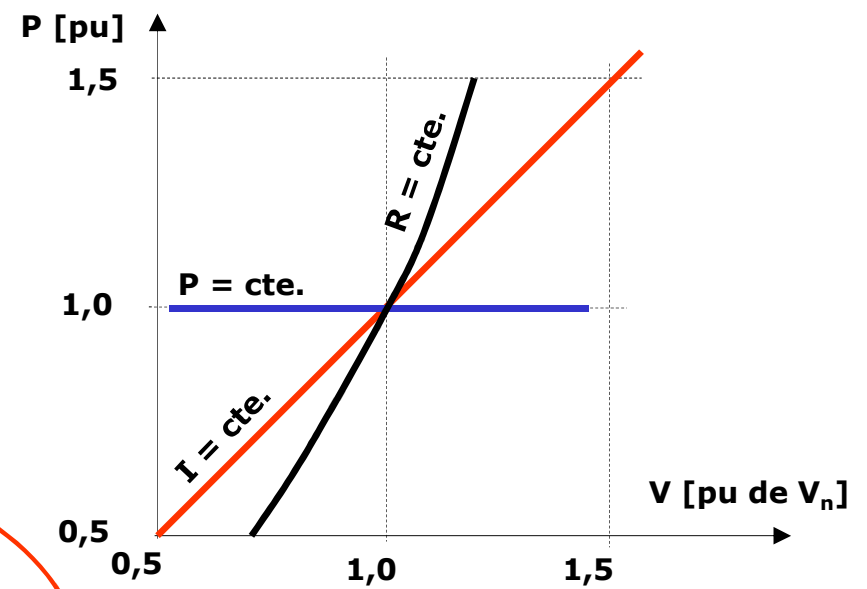
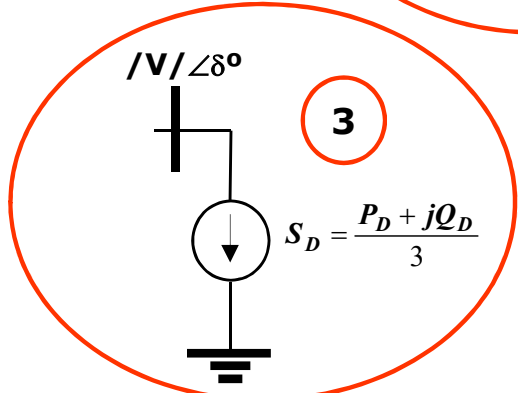
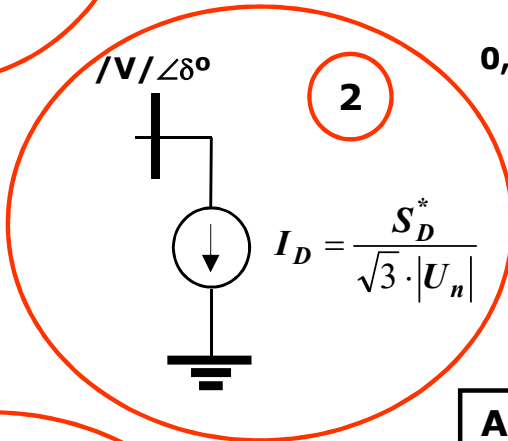
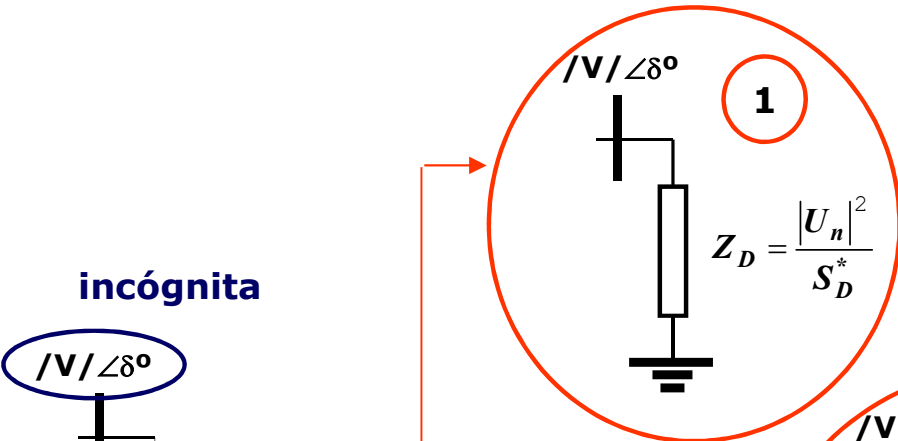
Tres Modelos de Demandas

- (1) Como $Z = cte.$
- (2) Como $I = cte.$
- (3) Como $S = cte$

CARACTERÍSTICA POTENCIA – TENSIÓN DE LAS DEMANDAS

Tres Modelos de Demandas

- (1) Como $Z = \text{cte.}$
- (2) Como $I = \text{cte.}$
- (3) Como $S = \text{cte.}$



incógnita

$$|V|/\angle\delta^\circ$$

$$SD = PD + jQD$$

dato

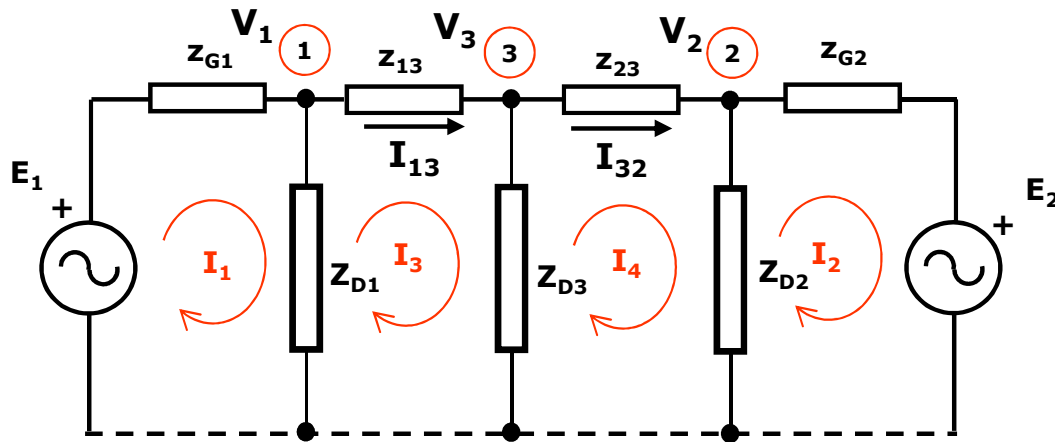
Adoptado el Modelo que representará a las Demandas, se impone el Método de Resolución de la Red.

- (1) Modelo $Z = \text{cte.}$ → Método de las Corrientes de Mallas.
- (2) Modelo $I = \text{cte.}$ → Método de las Tensiones de Nodo.
- (3) Modelo $S = \text{cte.}$ → Método de los Flujos de Potencia.

MODELO DE DEMANDA & MÉTODO DE RESOLUCIÓN DE LA RED

(1) Modelo $Z = \text{cte.}$ → Método de las Corriente de Mallas →

Variable de Estado: I_{Malla}



Demandas ...

$$Z_{D1} = \frac{|U_n|^2}{S_{D1}^*} \quad Z_{D2} = \frac{|U_n|^2}{S_{D2}^*} \quad Z_{D3} = \frac{|U_n|^2}{S_{D3}^*}$$

$$[E]_{\text{malla}} = [Z]_{\text{malla}} \cdot [I]_{\text{malla}}$$

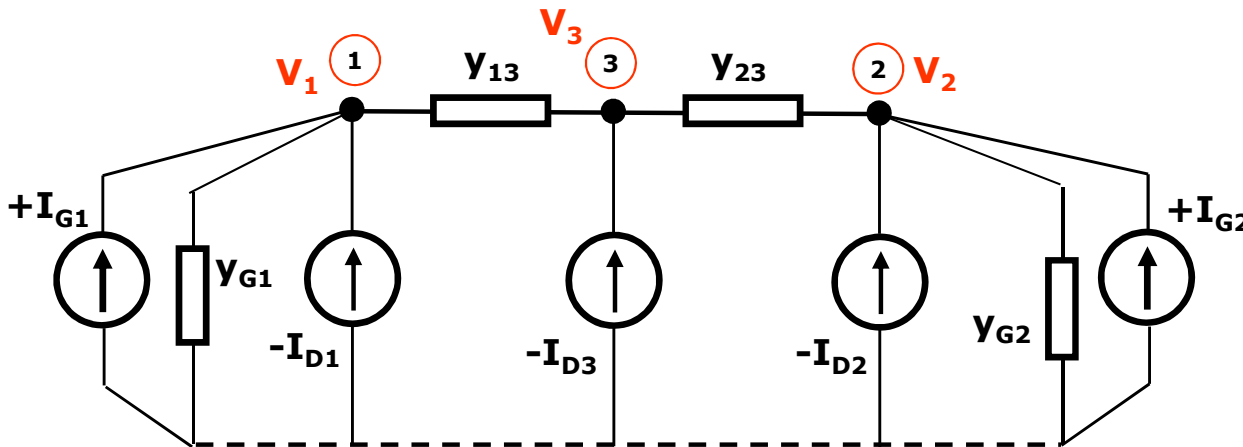
$$[Z_{\text{malla}}] = \begin{matrix} & \boxed{1} & \boxed{2} & \boxed{3} & \boxed{4} \\ \boxed{1} & Z_{G1} + Z_{D1} & 0 & -Z_{D1} & 0 \\ \boxed{2} & 0 & Z_{G2} + Z_{D2} & 0 & -Z_{D2} \\ \boxed{3} & -Z_{D1} & 0 & Z_{D1} + Z_{13} + Z_{D3} & -Z_{D3} \\ \boxed{4} & 0 & -Z_{D2} & -Z_{D3} & Z_{D2} + Z_{23} + Z_{D3} \end{matrix}$$

$$\begin{bmatrix} I_1 \\ I_2 \\ I_2 \\ I_4 \end{bmatrix} = \begin{bmatrix} Z_{11} & Z_{12} & Z_{13} & Z_{14} \\ Z_{21} & Z_{22} & Z_{23} & Z_{24} \\ Z_{31} & Z_{32} & Z_{33} & Z_{34} \\ Z_{41} & Z_{42} & Z_{43} & Z_{44} \end{bmatrix}^{-1} \cdot \begin{bmatrix} E_1 \\ -E_2 \\ 0 \\ 0 \end{bmatrix} \Rightarrow \begin{cases} I_{13} = I_3 \\ I_{D1} = I_1 - I_3 \\ V_1 = E_1 - I_1 \cdot Z_{G1} \\ S_{13} = 3 \cdot V_1 \cdot I_{13}^* \\ \text{etc.} \end{cases}$$

MODELO DE DEMANDA & MÉTODO DE RESOLUCIÓN DE LA RED

(2) Modelo $I = \text{cte.} \rightarrow$ Método de las Tensiones de Nodo \rightarrow

Variable de Estado: V_{Nodo}



Demandas ...

$$I_{D1} = \frac{S_{D1}^*}{\sqrt{3} \cdot |U_n|} \quad I_{D2} = \frac{S_{D2}^*}{\sqrt{3} \cdot |U_n|} \quad I_{D3} = \frac{S_{D3}^*}{\sqrt{3} \cdot |U_n|}$$

$$[I]_{\text{Nodo}} = [Y]_{\text{Nodo}} \cdot [V]_{\text{Nodo}}$$

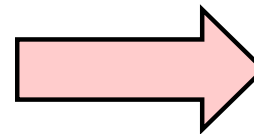
$$[Y] = \begin{matrix} & \begin{matrix} \textcircled{1} & \textcircled{2} & \textcircled{3} \end{matrix} \\ \begin{matrix} \textcircled{1} \\ \textcircled{2} \\ \textcircled{3} \end{matrix} & \begin{bmatrix} y_{G1} + y_{13} & 0 & -y_{13} \\ 0 & y_{G2} + y_{23} & -y_{23} \\ -y_{13} & -y_{23} & y_{12} + y_{23} \end{bmatrix} \end{matrix}$$

$$[I] = \begin{bmatrix} I_1 \\ I_2 \\ -I_3 \end{bmatrix} = \begin{bmatrix} I_{G1} - I_{D1} \\ I_{G2} - I_{D2} \\ -I_{D3} \end{bmatrix}$$

$$[V] = \begin{bmatrix} V_1 \\ V_2 \\ V_3 \end{bmatrix}$$

$$[V]_{\text{Nodo}} = [Y]_{\text{Nodo}}^{-1} \cdot [I]_{\text{Nodo}}$$

$$\begin{bmatrix} V_1 \\ V_2 \\ V_3 \end{bmatrix} = \begin{bmatrix} Y_{11} & Y_{12} & Y_{13} \\ Y_{21} & Y_{22} & Y_{23} \\ Y_{31} & Y_{32} & Y_{33} \end{bmatrix}^{-1} \cdot \begin{bmatrix} I_1 \\ I_2 \\ I_3 \end{bmatrix}$$



$$\left\{ \begin{array}{l} I_{13} = (V_1 - V_3) \cdot y_{13} \\ S_{13} = 3 \cdot V_1 \cdot I_{13}^* = 3 \cdot V_1 \cdot [(V_1 - V_3) \cdot y_{13}]^* \\ S_{31} = 3 \cdot V_3 \cdot I_{31}^* = 3 \cdot V_3 \cdot [(V_3 - V_1) \cdot y_{13}]^* \\ \text{etc.} \end{array} \right.$$

MODELO DE DEMANDA & MÉTODO DE RESOLUCIÓN DE LA RED

(3) Modelo $S = \text{cte.}$ → Método de los Flujos de Potencia →

Variable de Estado: V_{Nodo}

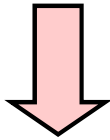
Demandas ...

$$S_{D1} \quad S_{D2} \quad S_{D3}$$

$$I_1 = \frac{S_1^*}{V_1^*}$$

$$I_1 = \sum_{i=1}^3 Y_{1,i} \cdot V_i = Y_{11} \cdot V_1 + Y_{12} \cdot V_2 + Y_{13} \cdot V_3$$

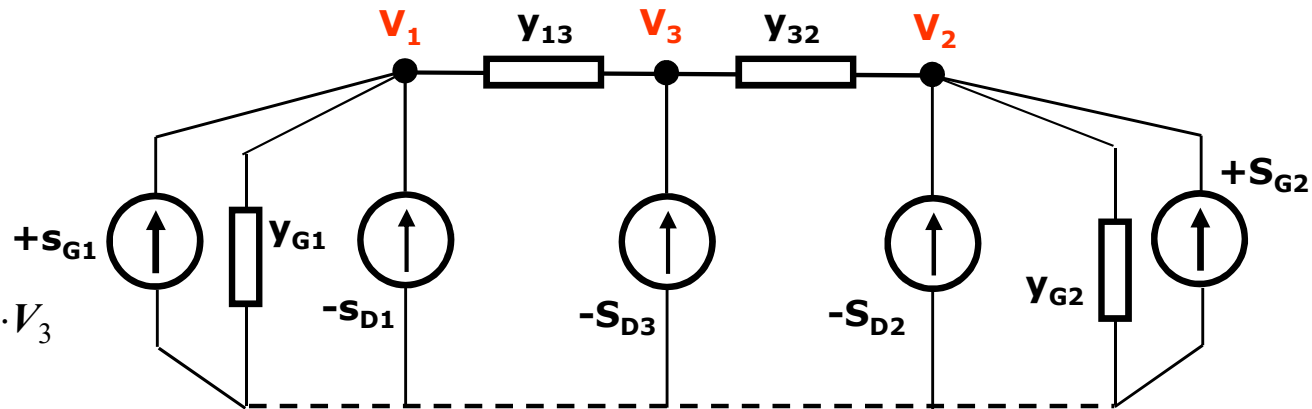
$$\frac{S_1^*}{V_1^*} = Y_{11} \cdot V_1 + Y_{12} \cdot V_2 + Y_{13} \cdot V_3$$



$$\frac{S_1^*}{V_1^*} = Y_{11} \cdot V_1 + Y_{12} \cdot V_2 + Y_{13} \cdot V_3$$

$$\frac{S_2^*}{V_2^*} = Y_{21} \cdot V_1 + Y_{22} \cdot V_2 + Y_{23} \cdot V_3$$

$$\frac{S_3^*}{V_3^*} = Y_{31} \cdot V_1 + Y_{32} \cdot V_2 + Y_{33} \cdot V_3$$



$$V_1 = \frac{1}{Y_{11}} \cdot \left[\frac{S_1^*}{V_1^*} - (Y_{12} \cdot V_2 + Y_{13} \cdot V_3) \right]$$

$$V_2 = \frac{1}{Y_{22}} \cdot \left[\frac{S_2^*}{V_2^*} - (Y_{21} \cdot V_1 + Y_{23} \cdot V_3) \right]$$

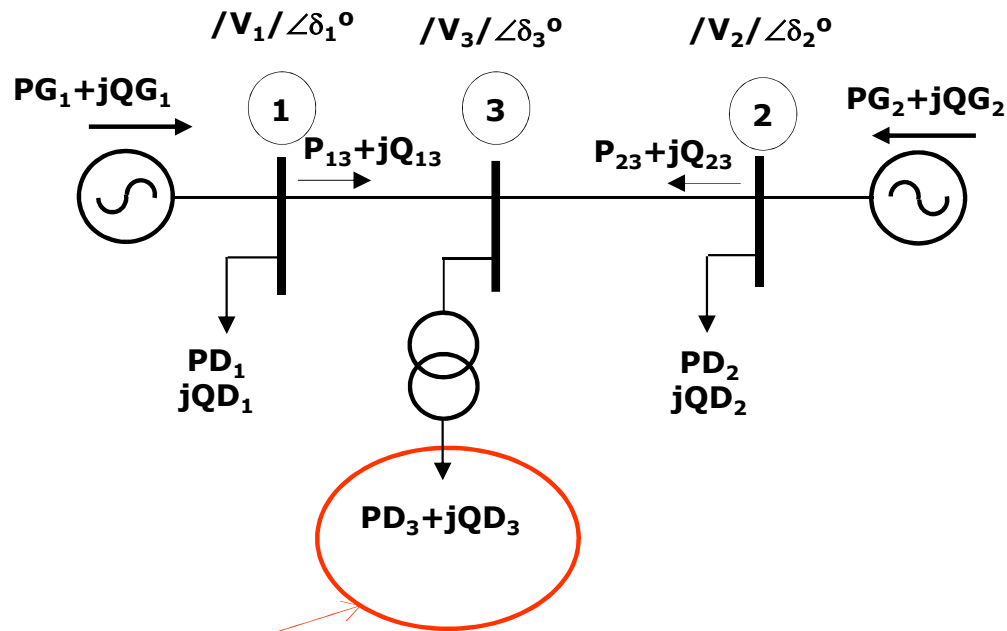
$$V_3 = \frac{1}{Y_{33}} \cdot \left[\frac{S_3^*}{V_3^*} - (Y_{31} \cdot V_1 + Y_{32} \cdot V_2) \right]$$

¡Ecuaciones irresolubles analíticamente!

¡Deberá recurrirse a métodos numéricos iterativos: Gauss, Gauss-Seidel, Newton-Raphson, etc.! → UT4

Este Modelo es el usualmente empleado en los estudios clásicos de Estados Estacionarios.

CARACTERÍSTICA POTENCIA – TENSIÓN DE LAS DEMANDAS



Convención:

$S_D = P_D + jQ_D$; $S_G = P_G + jQ_G$: valores trifásicos

V : tensión simple, fase-tierra

U : tensión compuesta, fase-fase.

$$S_D [MVA] = P_D + jQ_D = 3 \cdot V [kV] \cdot I_D^* [kA]$$

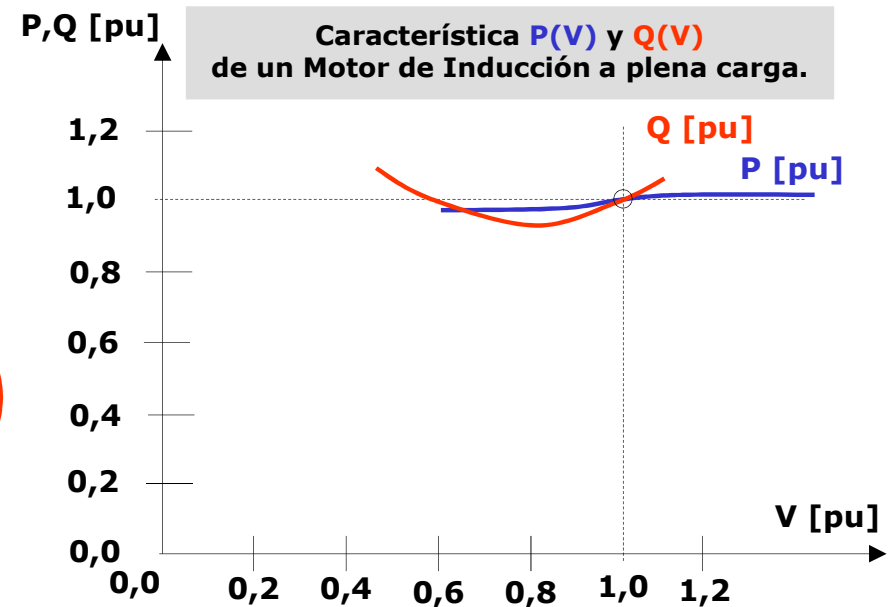
$$S_{base} [MVA] = 3 \cdot |V_{base} [kV]| \cdot |I_{base} [kA]|$$

$$\frac{S_D}{|S_{base}|} = \frac{PD + jQD}{|S_{base}|} = \frac{3 \cdot V [kV] \cdot I_D^* [kA]}{3 \cdot |V_{base} [kV]| \cdot |I_{base} [kA]|}$$

$$S_D [pu] = P_D [pu] + jQ_D [pu] = V [pu] \cdot I_D^* [pu]$$

Composición típica de la Demanda de una ET AT/MT:

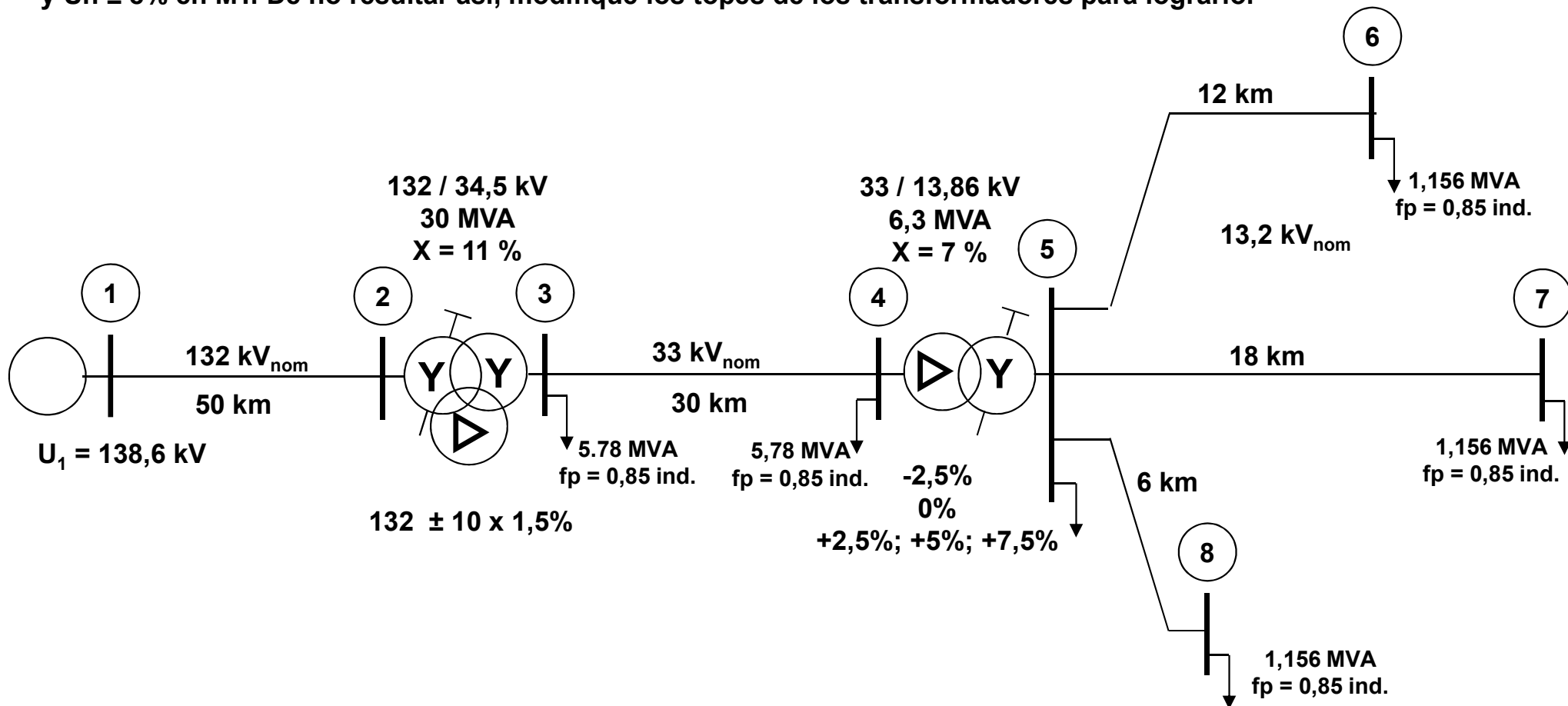
Motores de Inducción	50-70 %
Calefacción y alumbrado	20-25 %
Motores Síncronos	10 %
Pérdidas de Distribución	10-12 %



SISTEMA DE REPRESENTACIÓN EN “UNIDADES RELATIVAS” o “POR UNIDAD” [PU]

Ejemplo - Introducción

Se desea conocer las tensiones en todas las barras de la red. Éstas deben resultar dentro de la banda $U_n \pm 5\%$ en AT y $U_n \pm 8\%$ en MT. De no resultar así, modifique los topes de los transformadores para lograrlo.

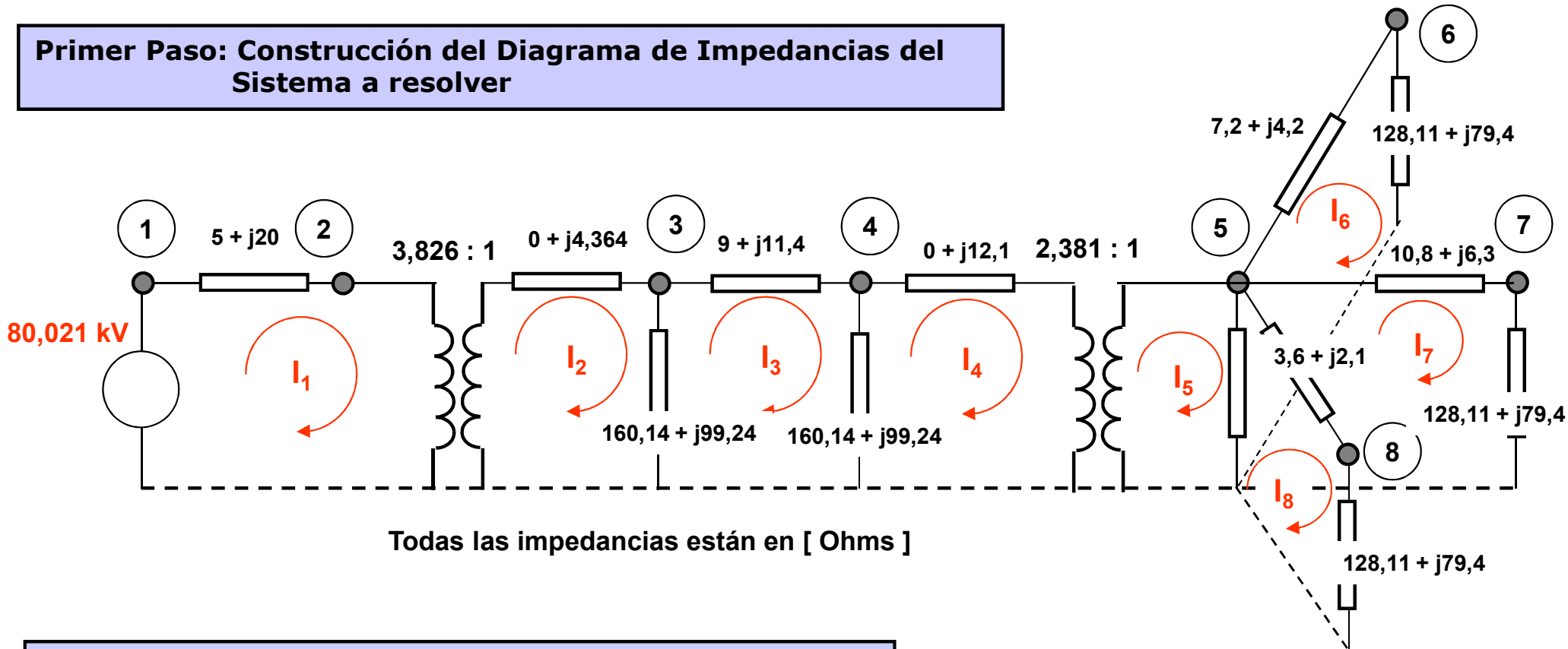


Los parámetros unitarios de las Líneas son: Nivel de 132kV (cond. 300/50 mm² Al/Ac): $Z_1 = 0,1 + j0,4$ Ohm/km; Nivel de 33kV (cond. 95/15 mm² Al/Ac): $Z_1 = 0,3 + j0,38$ Ohm/km y Nivel de 13,2kV (cond. 50/8 mm² Al/Ac): $Z_1 = 0,6 + j0,35$ Ohm/km. Se desprecian las admitancias shunt.

Considere las demandas como $Z = \text{constante}$, $Z_{Demanda} = \frac{U_{nominal}^2}{S_{Demanda}^*}$, y que los transformadores se encuentran con sus conmutadores en posición nominal.

Resolución Mediante el Método "Óhmico"

Primer Paso: Construcción del Diagrama de Impedancias del Sistema a resolver



Segundo Paso: Empleo de algún Método de Resolución

El método que mejor se adapta a la solución de la red así modelada es el Método de las Corrientes de Mallas. Por caso, considérese las que se señalan en el diagrama.

Observe la dificultad para construir la Matriz de Impedancias de Mallas, a causa de la presencia de los transformadores.

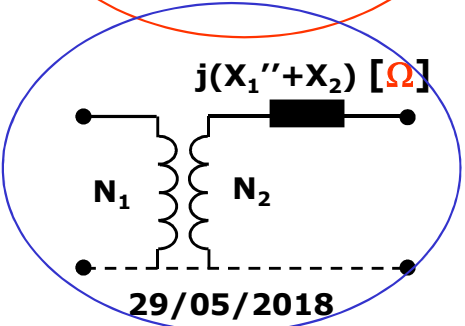
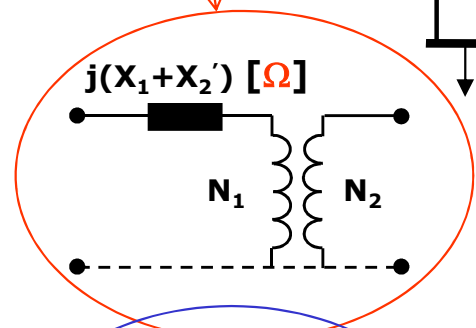
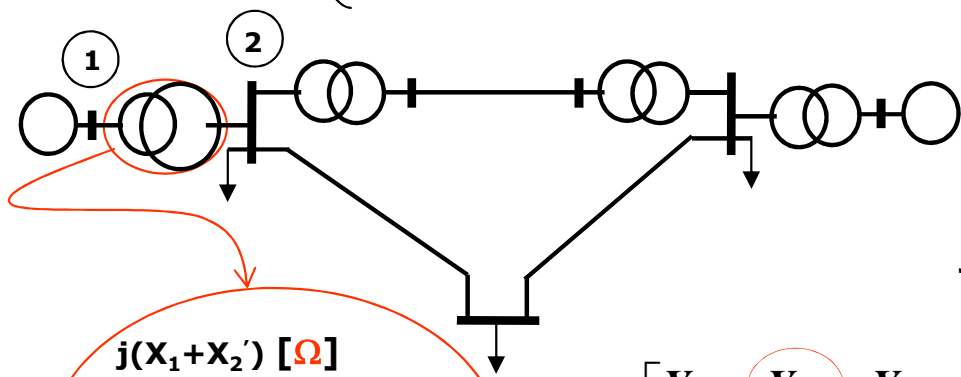
¿Quiere intentarlo?

¿No? ... Pues la necesidad de "eliminar" del circuito a tratar la presencia de estos modelos de transformadores es la principal razón de existir del "Método de Cálculo Por Unidad".

SISTEMA DE REPRESENTACIÓN EN [PU]

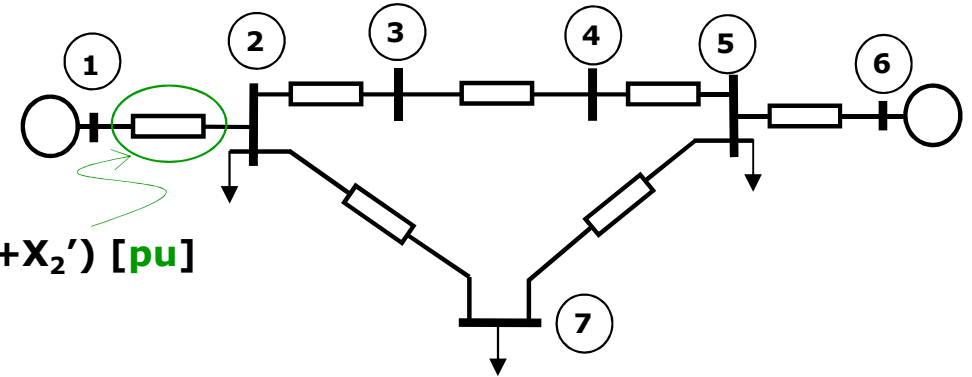
1. La principal: "desaparece" de la red el transformador ideal que forma parte del circuito equivalente del real.

Ventajas:



$$[Y] = \begin{bmatrix} Y_{11} & Y_{12} & Y_{13} & \dots \\ Y_{21} & Y_{22} & \dots & \dots \\ \dots & \dots & \dots & \dots \\ Y_{71} & \dots & \dots & \dots \end{bmatrix}$$

$Y_{12} \neq Y_{21}$ etc.



$j(X_1+X_2')$ [pu]

$$[Y] = \begin{bmatrix} Y_{11} & Y_{12} & Y_{13} & \dots \\ Y_{21} & Y_{22} & \dots & \dots \\ \dots & \dots & \dots & \dots \\ Y_{71} & \dots & \dots & \dots \end{bmatrix}$$

¡Ahora si $Y_{12} = Y_{21}$!

SISTEMA DE REPRESENTACIÓN EN [PU]

Ventajas
(continuación)

2. Resulta sencillo tener una rápida visión del estado de una red.
3. Es posible adjudicar valores a los parámetros de máquinas, cuyos verdaderos se ignoran, a partir de Tablas Generales, pues ...
4. Máquinas del mismo tipo, independientemente de su tamaño, poseen parámetros "pu" de, o relativos a, sus nominales que varían en un muy estrecho rango.

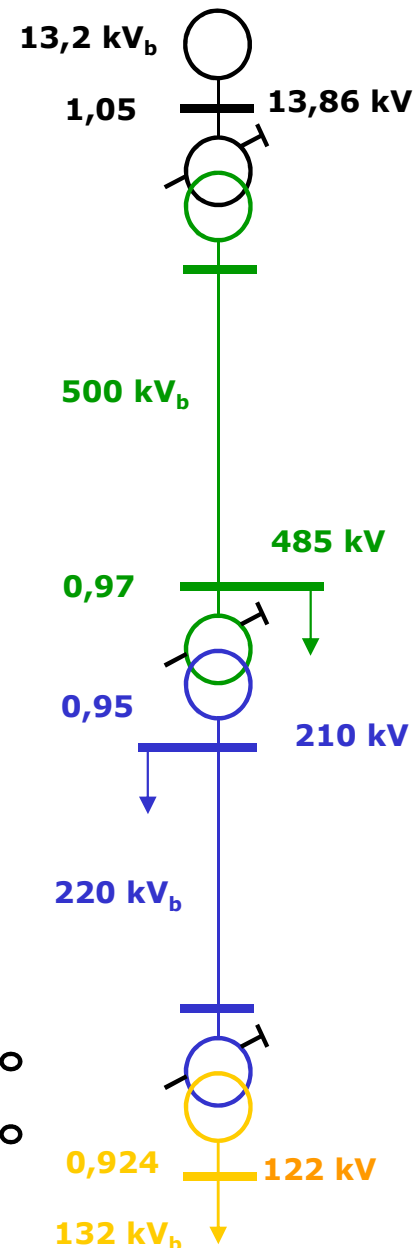
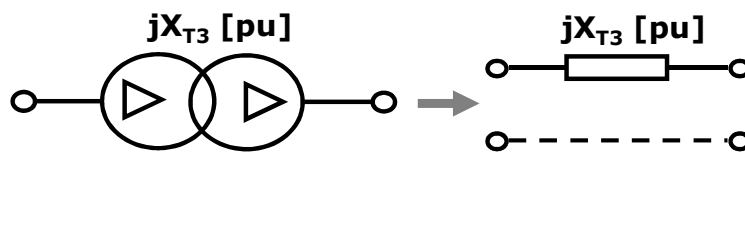
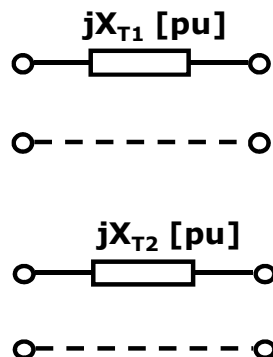
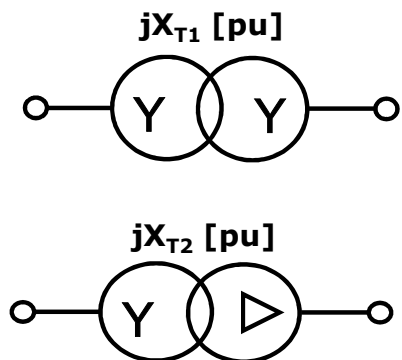
Turbo-Generadores bipolares:

$$X_d = 0,95 \dots 1,45 \text{ pu}$$

$$X_d' = 0,12 \dots 0,21 \text{ pu}$$

$$X_d'' = 0,07 \dots 0,14 \text{ pu}$$

5. Tomada la impedancia de la Máquina en "pu" y a partir de su placa (el fabricante así suele inscribirla), no importa su grupo de conexión (Y o D); ni si es monofásica o trifásica.



SISTEMA DE REPRESENTACIÓN EN [PU]

Desventajas:

1. Se pierden las unidades físicas de las variables y parámetros utilizados en las ecuaciones que representan la red.
2. El circuito equivalente en valores "pu" se hace más abstracto.
3. Se eliminan factores como $\sqrt{3}$ o 3, prestándose a confusión en la escritura o interpretación de las ecuaciones de la red.

$$S_{3F} [MVA] = 3 \cdot S_{1F} [MVA]$$

$$S_{3F} [MVA] = 3 \cdot S_{1F} [MVA]$$

$$S_{3F,Base} [MVA]$$

$$\frac{S_{3F} [MVA]}{S_{3F,Base} [MVA]} = \frac{3 \cdot S_{1F} [MVA]}{3 \cdot S_{1F,Base} [MVA]}$$

$$S_{3F} [pu] = S_{1F} [pu]$$

Se 'pierde' el '3'

$$S_{3F} [MVA] = 3 \cdot V [kV] \cdot I^* [kA]$$

$$S_{3F} [MVA] = 3 \cdot V [kV] \cdot I^* [kA]$$

$$\frac{S_{3F} [MVA]}{S_{3F,Base} [MVA]} = \frac{3 \cdot V [kV] \cdot I^* [kA]}{3 \cdot V_{Base} [kV] \cdot I_{Base} [kA]}$$

$$S_{3F} [pu] = V [pu] \cdot I^* [pu]$$

Se 'pierde' el '3'

$$U [kV] = \sqrt{3} \cdot V [kV]$$

$$U [kV] = \sqrt{3} \cdot V [kV]$$

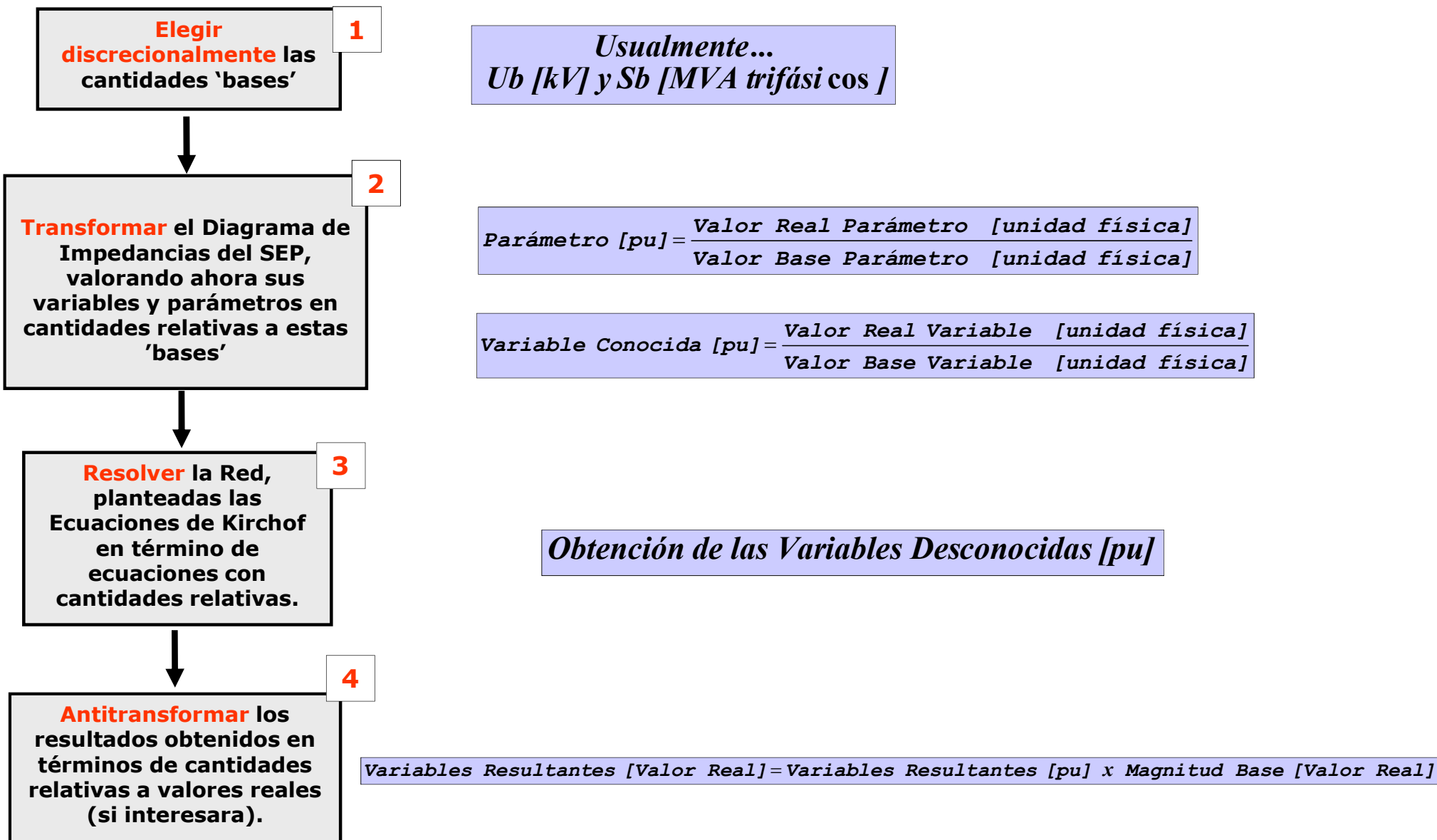
$$\frac{U [kV]}{U_{Base} [kV]} = \frac{\sqrt{3} \cdot V [kV]}{\sqrt{3} \cdot V_{Base} [kV]}$$

$$U [pu] = V [pu]$$

Se 'pierde' el ' $\sqrt{3}$ '

SISTEMA DE REPRESENTACIÓN EN [PU] CIRCUITOS MONOFÁSICOS

- **INTRODUCCIÓN** El Sistema de Cálculo Por Unidad es un método de “normalización” o de “reducción a escala”, pero no de resolución de circuitos, consistente en ...



Transformar el Diagrama de Impedancias del SEP, valorando ahora sus variables y parámetros en cantidades relativas a estas 'bases'

$$\text{Variable [pu]} = \frac{\text{Valor Real Variable [unidad física]}}{\text{Valor Base Variable [unidad física]}}$$

$$\text{Parámetro [pu]} = \frac{\text{Valor Real Parámetro [unidad física]}}{\text{Valor Base Parámetro [unidad física]}}$$

▪ INTRODUCCIÓN (continuación)

Cada variable o parámetro de la red se expresará así en valores relativos a cantidades denominadas "bases", respetándose las siguientes reglas:

1. La [unidad física] del Valor Base debe ser consistente con la [unidad física] del Valor Real.
2. Los Valores Bases deben ser Números Reales (no complejos).
3. Los Valores Bases se relacionan entre sí de acuerdo con las Leyes de Kirchhoff.
4. La Potencia Base que se adopte, S_b , es invariante (la misma vale para todos los niveles de tensión).
5. El resto de las variables y parámetros bases se relacionan entre sí de un lado con respecto del otro lado de los transformadores de acuerdo con la relación de espiras de los mismos.

▪ COMENTARIOS

- Como el Valor Real será generalmente un número complejo, de la regla 2 resultará entonces que éste, expresado en valores relativos o "por unidad", conservará su argumento.
- De la regla 3 se deduce que de las **tres variables** y **dos parámetros** (**S**, **I**, **V** y **Z** o **Y**) que pueden encontrarse en un circuito eléctrico, sólo dos de ellos podrán seleccionarse discrecionalmente. A partir de ellos, los otros dos (considerando que Y_{base} es la inversa de Z_{base}) quedarán determinados por las Leyes de Kirchhoff.
- De la regla 3 se desprenden la 4 y la 5. Esto es, habiendo distintos niveles de tensión en el circuito eléctrico en cuestión, el valor de S_b se mantiene invariante para todos ellos, mientras que todas las otras variables y parámetros eléctricos bases se refieren de uno a otro nivel a través de las relaciones de transformación existentes.

Respetando lo recién expuesto se logrará, tal como se lo demostrará más adelante, que en un circuito eléctrico, valorado sus elementos "por unidad de" o "relativos a" bases correctamente elegidas, las variables eléctricas en el mismo se relacionarán entre sí y por medio de los parámetros de la red, **cumpliendo todas las Leyes de la Electrotecnia.**

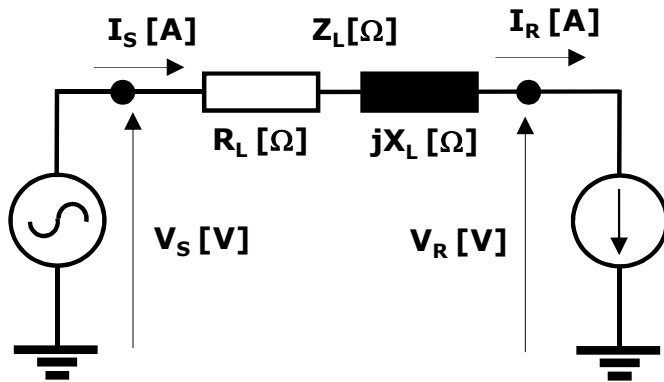
Con las ventajas antes señaladas.

SISTEMA DE REPRESENTACIÓN EN [PU] CIRCUITOS MONOFÁSICOS

DEMOSTRACIÓN

1. CIRCUITO MONOFÁSICO SIN TRANSFORMADORES.

Conocidas V_R e I_R , calcular V_S y S_S .

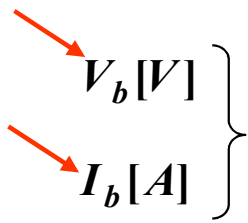


$$V_S [V] = V_R [V] + (R_L + jX_L) [\Omega] \cdot I_R [A]$$

$$S_S [VA] = V_S [V] \cdot I_S^* [A]$$

Se deducen a partir de las anteriores y de las Leyes de Kirchhoff.

Se eligen



$$Z_b [\Omega] = \frac{V_b [V]}{I_b [A]}$$

$$S_b [VA] = V_b [V] \cdot I_b [A]$$

¡Todos Números REALES!

$$\frac{|V_S [V]| \angle \delta_S^\circ}{V_b [V]} = \frac{|V_R [V]| \angle \delta_R^\circ + (R_L + jX_L) [\Omega] \cdot |I_R [A]| \angle \phi_R^\circ}{V_b [V]}$$

$$\frac{|V_S [V]|}{V_b [V]} \angle \delta_S^\circ = \frac{|V_R [V]|}{V_b [V]} \angle \delta_R^\circ + \frac{(R_L + jX_L) [\Omega]}{Z_b [\Omega]} \cdot \frac{|I_R [A]|}{I_b [A]} \angle \phi_R^\circ$$

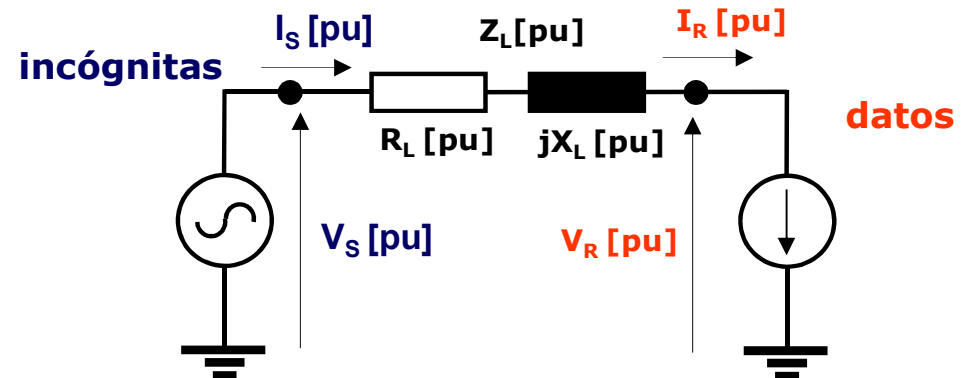
$$V_S [pu] = V_R [pu] + (R_L [pu] + jX_L [pu]) \cdot I_R [pu]$$

$$\frac{S_S [VA]}{S_b [VA]} = \frac{V_S [V] \cdot I_S^* [A]}{V_b [V] \cdot I_b^* [A]}$$

$$\frac{S_S [VA]}{S_b [VA]} = \frac{P_S + jQ_S [VA]}{S_b [VA]} = \frac{|V_S [V]| \angle \delta_S^\circ \cdot |I_S| \angle -\phi_S^\circ [A]}{V_b [V] \cdot I_b [V]}$$

$$S_S [pu] = P_S [pu] + jQ_S [pu] = V_S [pu] \cdot I_S^* [pu]$$

Conclusión: podríamos directamente haber hecho el cálculo considerando el circuito "pu" y luego "pasar" los resultados a valores reales, así:

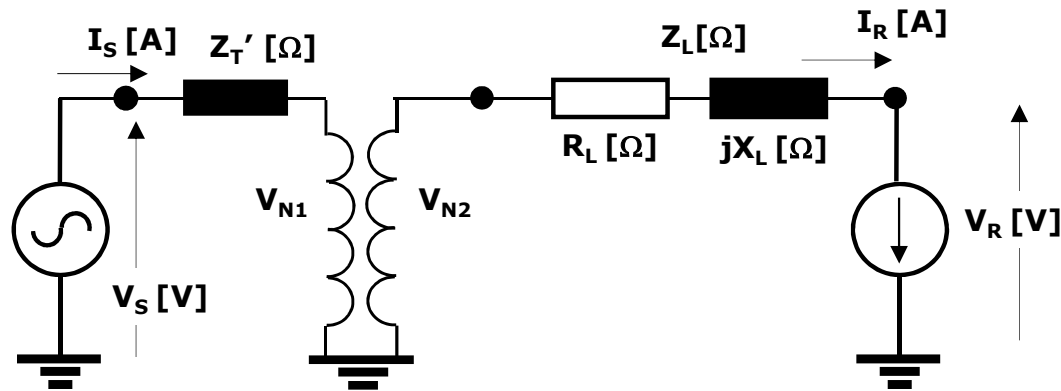


SISTEMA DE REPRESENTACIÓN EN [PU] CIRCUITOS MONOFÁSICOS

▪ DEMOSTRACIÓN

2. CIRCUITO MONOFÁSICO CON TRANSFORMADORES.

Conocidas V_R e I_R , calcular V_S y S_S .



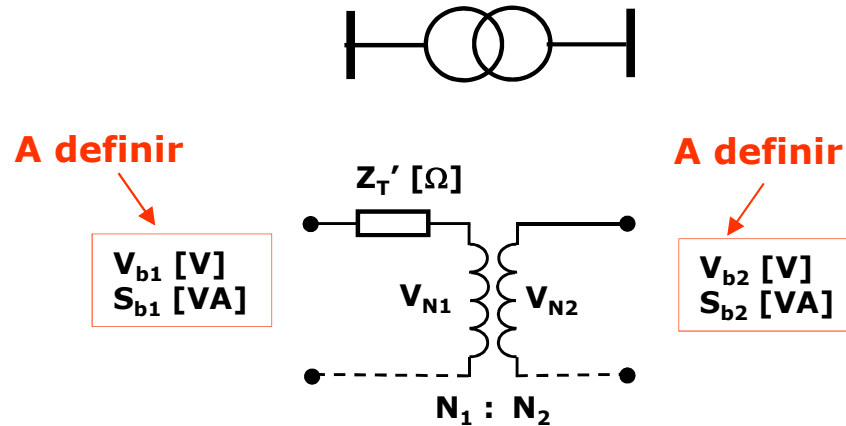
$$V_S [V] = V_R [V] + [(R_L + jX_L) [\Omega] \cdot (V_{N1} / V_{N2})^2 + Z_T' [\Omega]] \cdot I_R [A] \cdot (V_{N1} / V_{N2})$$

$$I_S [A] = I_R [A] \cdot (V_{N2} / V_{N1})$$

$$S_S [VA] = V_S [V] \cdot I_S^* [A]$$

¿Como traducir este circuito, que contempla un transformador, a valores 'pu' ...?

2. CIRCUITO EQUIVALENTE "PU" DE UN TRANSFORMADOR MONOFÁSICO.



A definir, de tal forma que “desaparezcan” los devanados ideales que toman en cuenta la relación de transformación.

$$Z_{b1}[\Omega] = \frac{V_{b1}[V]}{I_{b1}[A]} = \frac{[V_{b1}[V]]^2}{S_{b1}[VA]}$$

$$Z_{b2}[\Omega] = \frac{V_{b2}[V]}{I_{b2}[A]} = \frac{[V_{b2}[V]]^2}{S_{b2}[VA]}$$

$$Z_T' [pu] = \frac{Z_T' [\Omega]}{Z_{b1} [\Omega]} = \frac{Z_T' [\Omega] \cdot S_{b1} [VA]}{(V_{b1} [V])^2}$$

$$Z_T'' [pu] = \frac{Z_T'' [\Omega]}{Z_{b2} [\Omega]} = \frac{Z_T'' [\Omega] \cdot S_{b2} [VA]}{(V_{b2} [V])^2}$$

$$S_{b1} [VA] = \frac{Z_T' [pu] \cdot [V_{b1} [V]]^2}{Z_T' [\Omega]}$$

$$S_{b2} [VA] = \frac{Z_T'' [pu] \cdot [V_{b2} [V]]^2}{Z_T'' [\Omega]}$$

Si se define que $S_{b1} [VA] = S_{b2} [VA]$, entonces ...

$$\frac{Z_T' [pu] \cdot [V_{b1} [V]]^2}{Z_T' [\Omega]} = \frac{Z_T'' [pu] \cdot [V_{b2} [V]]^2}{Z_T'' [\Omega]}$$

$$Z_T' [pu] = Z_T'' [pu] \cdot \left(\frac{Z_T' [\Omega]}{Z_T'' [\Omega]} \cdot \frac{[V_{b2} [V]]^2}{[V_{b1} [V]]^2} \right)$$

Por otra parte, sabemos que ... $\frac{Z_T' [\Omega]}{Z_T'' [\Omega]} = \left(\frac{V_{N1} [V]}{V_{N2} [V]} \right)^2$

V_{Ni} : Tensión Nominal devanado "i"

$$Z_T' [pu] = Z_T'' [pu] \cdot \left(\frac{[V_{N1} [V]]^2}{[V_{N2} [V]]^2} \cdot \frac{[V_{b2} [V]]^2}{[V_{b1} [V]]^2} \right)$$

$$Z_T' [pu] = Z_T'' [pu] \cdot \frac{\left(\frac{V_{N1} [V]}{V_{b1} [V]} \right)^2}{\left(\frac{V_{N2} [V]}{V_{b2} [V]} \right)^2}$$

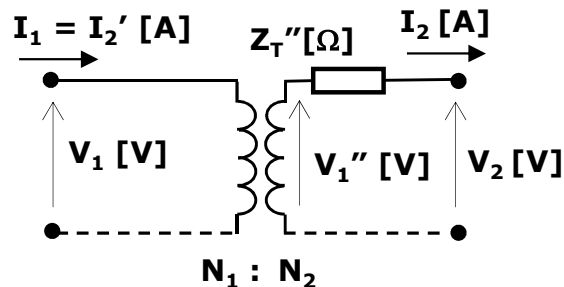
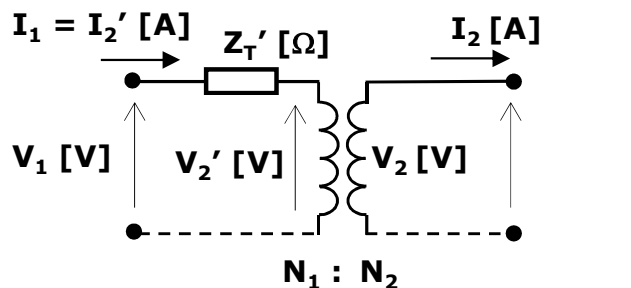
Si se definen $V_{N1} [pu] = \frac{V_{N1} [V]}{V_{b1} [V]}$ y $V_{N2} [pu] = \frac{V_{N2} [V]}{V_{b2} [V]}$

$$Z_T' [pu] = Z_T'' [pu] \cdot \left(\frac{V_{N1} [pu]}{V_{N2} [pu]} \right)^2 = Z_T'' [pu] \cdot \alpha^2$$

Si se elige $V_{b1} [V]$ y $V_{b2} [V]$ tal que ... $\frac{V_{b1} [V]}{V_{b2} [V]} = \frac{V_{N1} [V]}{V_{N2} [V]}$; entonces ... $\alpha = \frac{V_{N1} [pu]}{V_{N2} [pu]} = 1$ y ...

¡ $Z_T' [pu] = Z_T'' [pu]$!

3. INTERPRETACIÓN DE LAS ECUACIONES DE UN TRANSFORMADOR MONOFÁSICO EN CANTIDADES "PU" .



$$Z_T' [\Omega] \neq Z_T'' [\Omega]$$

$$I_1 [A] \neq I_2 [A]$$

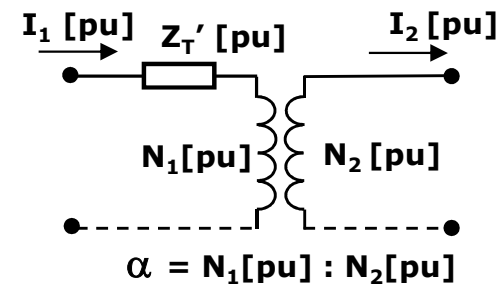
$$V_{1,vacío} [V] \neq V_{2,vacío} [V]$$

Según el lado desde el que se mire el transformador, se verán dos impedancias diferentes.

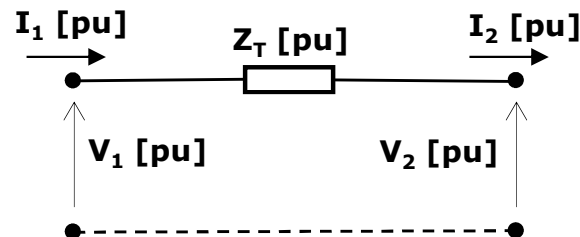
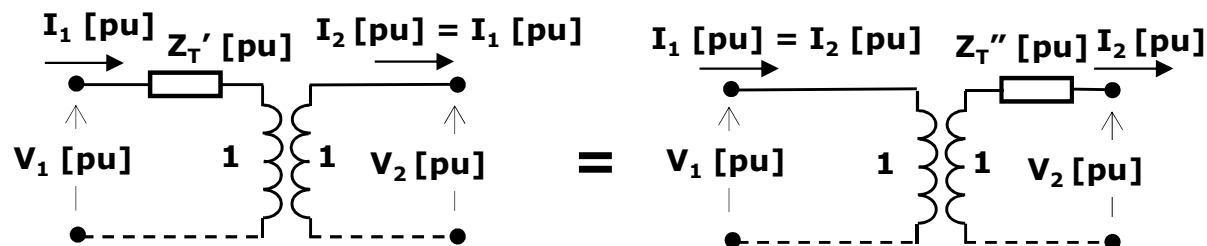
De desarrollos previos ... $Z_T' [pu] = Z_T'' [pu] \cdot (\alpha [pu])^2$

donde $\alpha = \frac{V_{N1} [V]}{V_{b1} [V]} = \frac{V_{N1} [pu]}{V_{N2} [pu]} = \frac{N_1 [pu]}{N_2 [pu]}$

Relación de transformación 'pu'

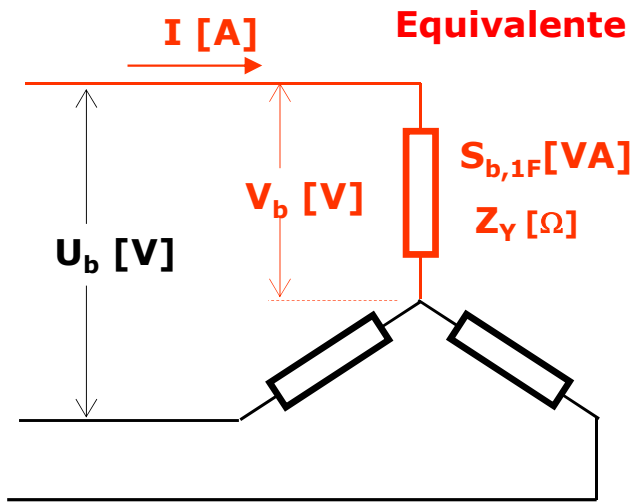


Mientras $\alpha = 1 \rightarrow$ transformador con toma en posición nominal ...



SISTEMA DE REPRESENTACIÓN EN [PU]: EXTENSIÓN A LOS SISTEMAS TRIFÁSICOS

“Las magnitudes bases deben respetar las Leyes de la Electrotecnia”



$$V_b = \frac{U_b}{\sqrt{3}} \quad [V] \quad S_{b,1F} = \frac{S_{b,3F}}{3} \quad [VA]$$

$$S_{3F} [pu] = \frac{S_{3F} [MVA]}{S_{b,3F} [MVA]} = \frac{3 \cdot V [kV] \cdot I^* [kA]}{3 \cdot V_b [kV] \cdot I_b [kA]} = \frac{S_{1F} [MVA]}{S_{b,1F} [MVA]} = S_{1F} [pu]$$

$$S_{3F} [pu] = S_{1F} [pu]$$

Valores de Z_b e I_b derivados de S_b y V_b monofásicas:

$$Z_{b,Y} [\Omega] = \frac{(V_b [V])^2}{S_{b,1F} [VA]} \quad I_b [A] = \frac{S_{b,1F} [VA]}{V_b [V]}$$

Valores de Z_b e I_b derivados de S_b y U_b trifásicas:

$$Z_{b,Y} [\Omega] = \frac{(U_b [V] / \sqrt{3})^2}{S_{b,1F} [VA]} = \frac{(U_b [V])^2}{3 \cdot S_{b,1F} [VA]} \longrightarrow Z_{b,Y} [\Omega] = \frac{(U_b [V])^2}{S_{b,3F} [VA]} \quad I_b [\Omega] = \frac{S_{b,3F} [VA] / 3}{U_b [V] / \sqrt{3}} \longrightarrow I_b [\Omega] = \frac{S_{b,3F} [VA]}{\sqrt{3} \cdot U_b [V]}$$

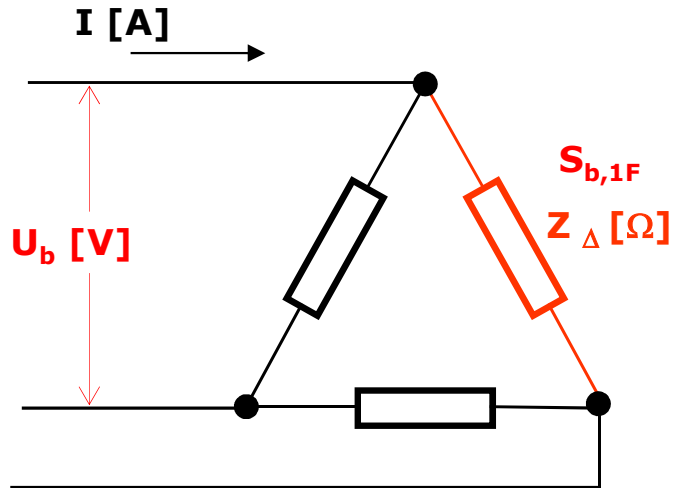
Lo usual, en Sistemas Trifásicos, es trabajar con bases trifásicas, en cuyo caso se sobreentenderá que:

$$S_b [VA] \leftarrow S_{b,3F} [VA]$$

También se sobreentenderá que: $Z_b [\Omega] \leftarrow Z_{b,Y} [\Omega]$

SISTEMA DE REPRESENTACIÓN EN [PU]: EXTENSIÓN A LOS SISTEMAS TRIFÁSICOS

En el caso de un circuito en triángulo ...

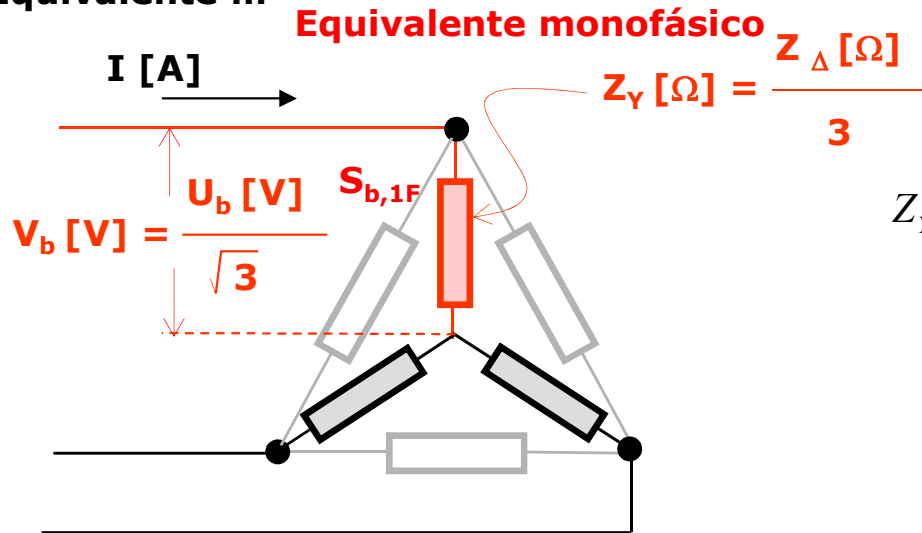


$$Z_{\Delta} [pu] = \frac{Z_{\Delta} [\Omega]}{Z_{b,\Delta} [\Omega]}$$

$$Z_{b,\Delta} [\Omega] = \frac{(U_b [V])^2}{S_{b,1F} [VA]}$$

$$Z_{\Delta} [pu] = \frac{Z_{\Delta} [\Omega]}{\frac{(U_b [V])^2}{S_{b,1F} [VA]}}$$

Pero como para representar este circuito en el equivalente monofásico se recurre a su Estrella Equivalente ...



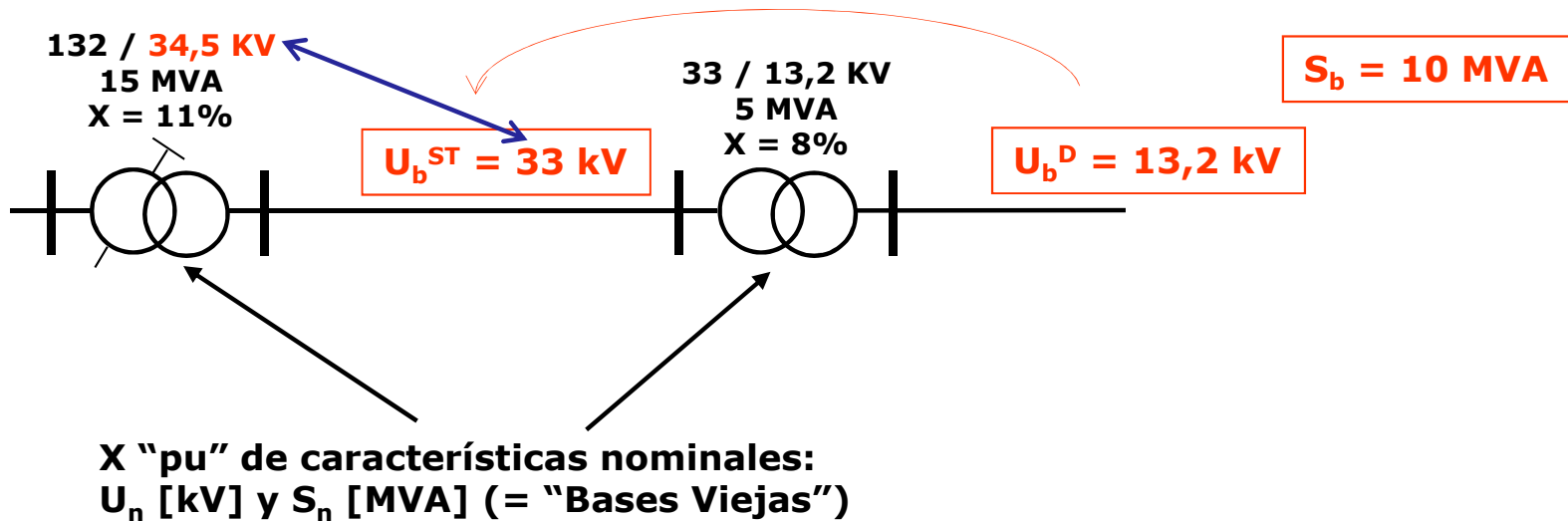
$$Z_{Y,eq} [pu] = \frac{Z_{Y,eq} [\Omega]}{Z_{b,Y} [\Omega]} = \frac{\frac{Z_{\Delta} [\Omega]}{3}}{\frac{(V_b [V])^2}{S_{b,1F} [VA]}} = \frac{Z_{\Delta} [\Omega]}{\frac{(U_b [V])^2}{S_{b,1F} [VA]}} = \frac{Z_{\Delta} [\Omega]}{Z_{b,\Delta} [\Omega]} = Z_{\Delta} [pu]$$

Conclusión:

$$Z_{Y,eq} [pu] = Z_{\Delta} [pu]$$

SISTEMA DE REPRESENTACIÓN EN [PU]: EXTENSIÓN A LOS SISTEMAS TRIFÁSICOS

CAMBIO DE BASES



Si ($U_b \neq U_n$) y/o ($S_b \neq S_n$) (Denotando con U_b y S_b = "Bases Nuevas") →

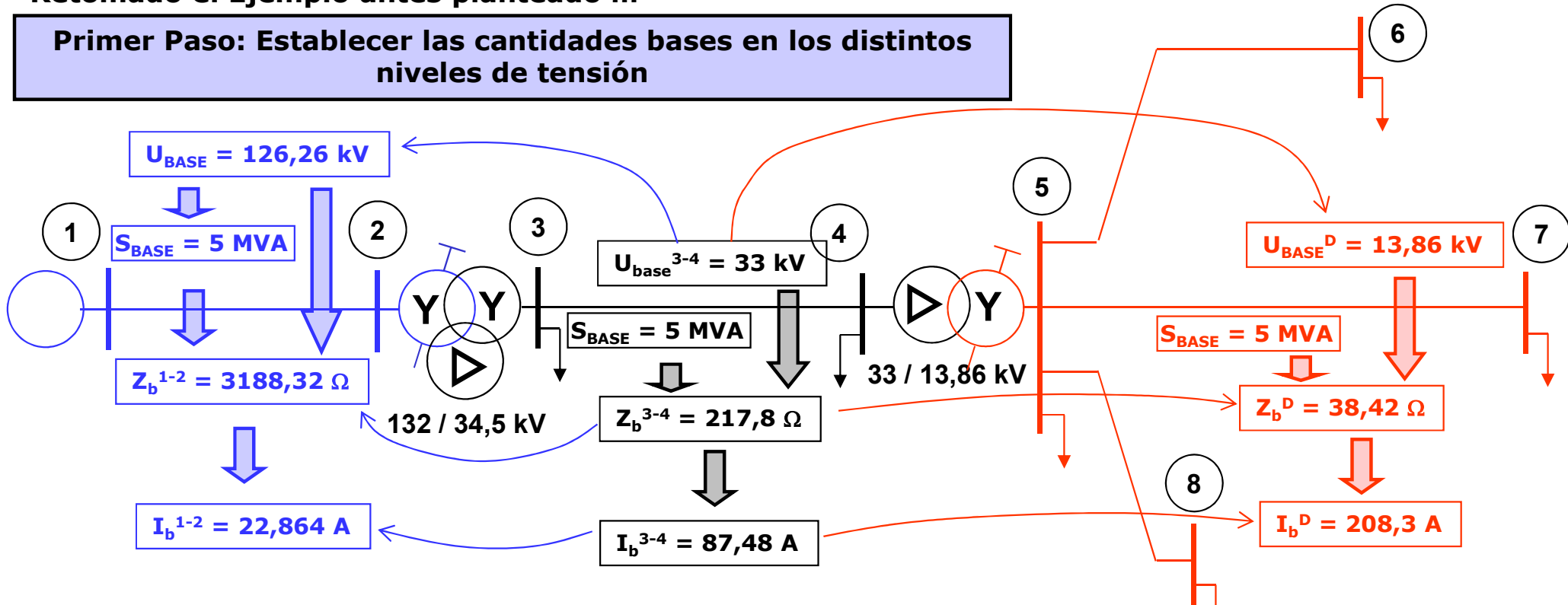
$$Z_{\Omega} = Z_{\text{vieja por unidad}} \cdot Z_{\text{base vieja en } \Omega} = Z_{\text{vieja por unidad}} \cdot \frac{(U_{\text{base vieja en kV}})^2}{S_{\text{base vieja en MVA}}}$$

$$Z_{\text{nueva por unidad}} = \frac{Z_{\Omega}}{Z_{\text{base nueva en } \Omega}} = Z_{\Omega} \cdot \frac{S_{\text{base nueva en MVA}}}{(U_{\text{base nueva en kV}})^2}$$

$$Z_{\text{nueva por unidad}} = Z_{\text{vieja por unidad}} \cdot \left(\frac{U_{\text{base vieja en kV}}}{U_{\text{base nueva en kV}}} \right)^2 \cdot \frac{S_{\text{base nueva en MVA}}}{S_{\text{base vieja en MVA}}}$$

Retomado el Ejemplo antes planteado ...

Primer Paso: Establecer las cantidades bases en los distintos niveles de tensión



1. Elegir una Potencia Base, la que será válida para **toda** la Red. Por ejemplo ... $S_{base} = 5 \text{ MVA}$
2. Elegir una Tensión Base en **un** Nivel de Tensión. Por ejemplo en subtransmisión ... $U_{base}^{3-4} = 33 \text{ kV}$

Todas las relaciones entre Magnitudes y Parámetros Bases respetan las Leyes de la Electrotécnia

3. Referir la Tensión Base elegida, de su Nivel de Tensión a los restantes, mediante las relaciones de transformación que correspondan.

4. Establecer las Impedancias bases para cada nivel de tensión, mediante las relaciones bases correspondiente o la correspondiente relac. de transformación

$$Z_{base}^{i-j}_Y = \frac{(U_{base}^{i-j})^2}{S_{base}}$$

5. Establecer las Corrientes bases para cada nivel de tensión, mediante las relaciones bases correspondientes o la correspondiente relación de transformación

$$I_{base}^{i-j} = \frac{U_{base}^{i-j}}{\sqrt{3} \cdot Z_{base}^{i-j}}$$

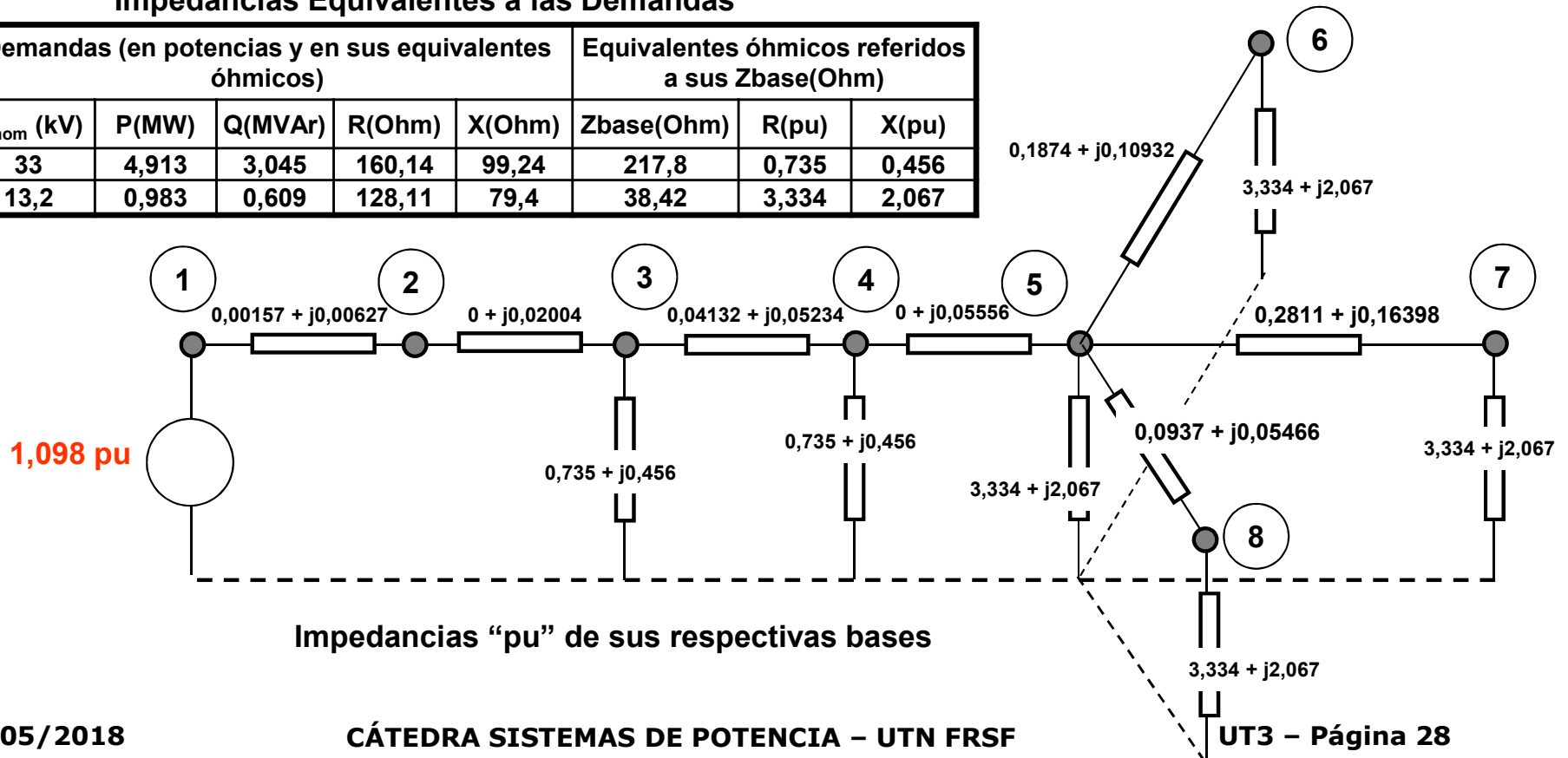
**Segundo Paso: Referir variables y parámetros reales a sus respectivas cantidades bases
(TRANSFORMAR)**

Impedancias de Líneas y Transformadores

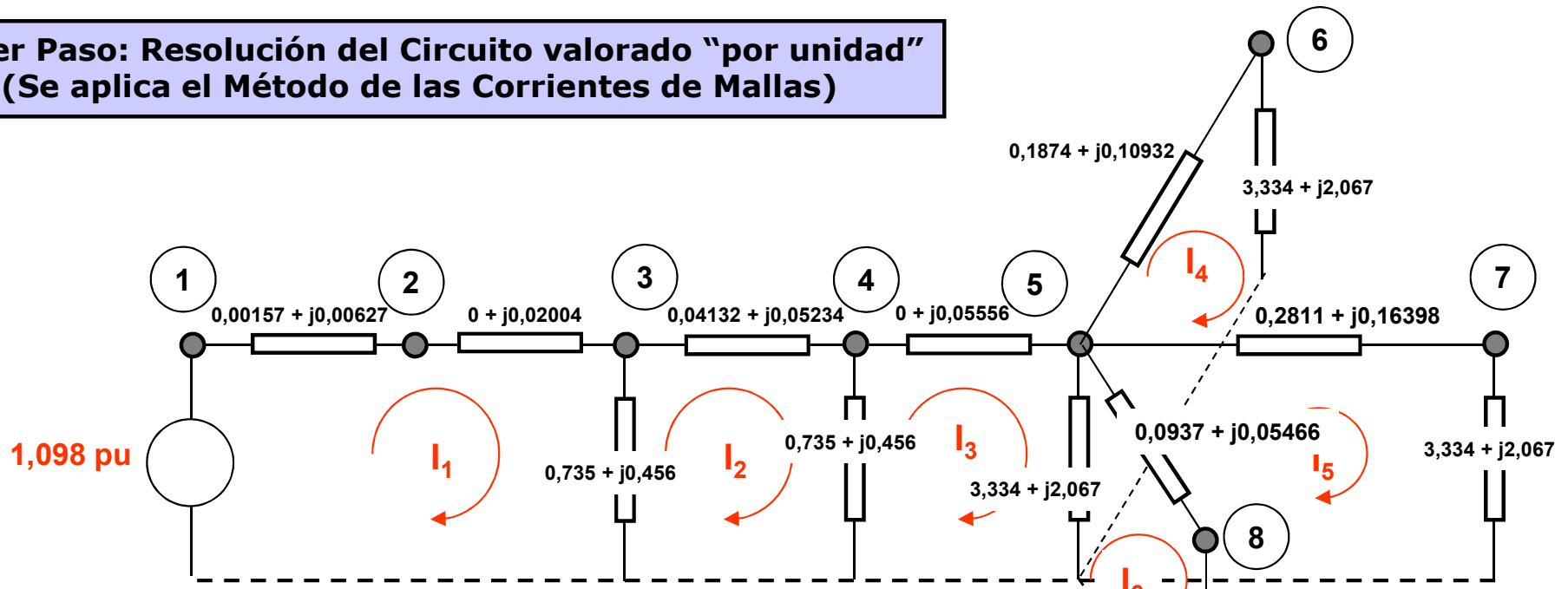
Tramo	Impedancias en Valores Óhmicos		Impedancias "pu" referidas a sus respectivas Zbase		
	R (Ohms)	X (Ohms)	Zbase (Ohm)	R (pu)	X (pu)
1-2	5	20	3188,32	0,00157	0,00627
2-3	0	4,364 (lado 34,5kV)	217,88	0	0,02004
3-4	9	11,4	217,88	0,04132	0,05234
4-5	0	12,1 (lado 33kV)	217,88	0	0,05556
5-6	7,2	4,56	38,42	0,1874	0,10932
5-7	10,8	6,84	38,42	0,2811	0,16398
5-8	3,6	2,28	38,42	0,0937	0,05466

Impedancias Equivalentes a las Demandas

Barra	Demandas (en potencias y en sus equivalentes óhmicos)					Equivalentes óhmicos referidos a sus Zbase(Ohm)		
	U _{nom} (kV)	P(MW)	Q(MVAr)	R(Ohm)	X(Ohm)	Zbase(Ohm)	R(pu)	X(pu)
3, 4	33	4,913	3,045	160,14	99,24	217,8	0,735	0,456
5, 6, 7, 8	13,2	0,983	0,609	128,11	79,4	38,42	3,334	2,067



**Tercer Paso: Resolución del Circuito valorado "por unidad"
(Se aplica el Método de las Corrientes de Mallas)**



Impedancias "pu" de sus respectivas bases

UT3-2014 Ejemplo - b.mcd

$$E := \begin{pmatrix} 1.098 + 0i \\ 0 \\ 0 \\ 0 \\ 0 \\ 0 \\ 0 \end{pmatrix} \quad Z := \begin{pmatrix} 0.73657 + 0.476667i & -0.735 - 0.456i & 0 & 0 & 0 & 0 & 0 \\ -0.735 - 0.456i & 1.51132 + .96434i & -0.735 - 0.456i & 0 & 0 & 0 & 0 \\ 0 & -0.735 - 0.456i & 4.069 + 2.57856i & -3.334 - 2.067i & -3.334 - 2.067i & -3.334 - 2.067i & -3.334 - 2.067i \\ 0 & 0 & -3.334 - 2.067i & 6.8554 + 4.24332i & 3.334 + 2.067i & 3.334 + 2.067i & 3.334 + 2.067i \\ 0 & 0 & -3.334 - 2.067i & 3.334 + 2.067i & 6.9491 + 4.29798i & 3.334 + 2.067i & 3.334 + 2.067i \\ 0 & 0 & -3.334 - 2.067i & 3.334 + 2.067i & 3.334 + 2.067i & 6.7617 + 4.18866i & 3.334 + 2.067i \end{pmatrix}$$

$$I := Z^{-1} \cdot E \quad \rightarrow \quad I = \begin{pmatrix} 2.554 - 1.898i \\ 1.548 - 1.206i \\ 0.686 - 0.561i \\ 0.169 - 0.138i \\ 0.165 - 0.135i \\ 0.174 - 0.142i \end{pmatrix}$$

$V_{nD} := 13.2$ ← Tensión nominal del nivel de Distribución

$V_{bD} := 13.86$ ← Tensión base para el nivel de Distribución

$$I = \begin{pmatrix} 2.554 - 1.898i \\ 1.548 - 1.206i \\ 0.686 - 0.561i \\ 0.169 - 0.138i \\ 0.165 - 0.135i \\ 0.174 - 0.142i \end{pmatrix} \rightarrow \begin{aligned} V_4 &:= (I_2 - I_3) \cdot (0.735 + 0.456j) \rightarrow |V_4| = 0.931 \text{ pu} \\ V_5 &:= I_4 \cdot (0.1874 + 0.10932j + 3.334 + 2.067j) \rightarrow |V_5| = 0.904 \text{ pu} \rightarrow |V_5| \cdot \frac{V_{bD}}{V_{nD}} = 0.95 \text{ pu} \\ V_6 &:= I_4 \cdot (3.334 + 2.067j) \rightarrow |V_6| = 0.857 \text{ pu} \rightarrow |V_6| \cdot \frac{V_{bD}}{V_{nD}} = 0.9 \text{ pu} \\ V_7 &:= I_5 \cdot (3.334 + 2.067j) \rightarrow |V_7| = 0.835 \text{ pu} \rightarrow |V_7| \cdot \frac{V_{bD}}{V_{nD}} = 0.877 \text{ pu} \end{aligned}$$

Cuarto Paso: Convertir los resultados "pu" a valores reales (ANTITRANSFORMAR) en el nivel de tensión que se juzgue conveniente.

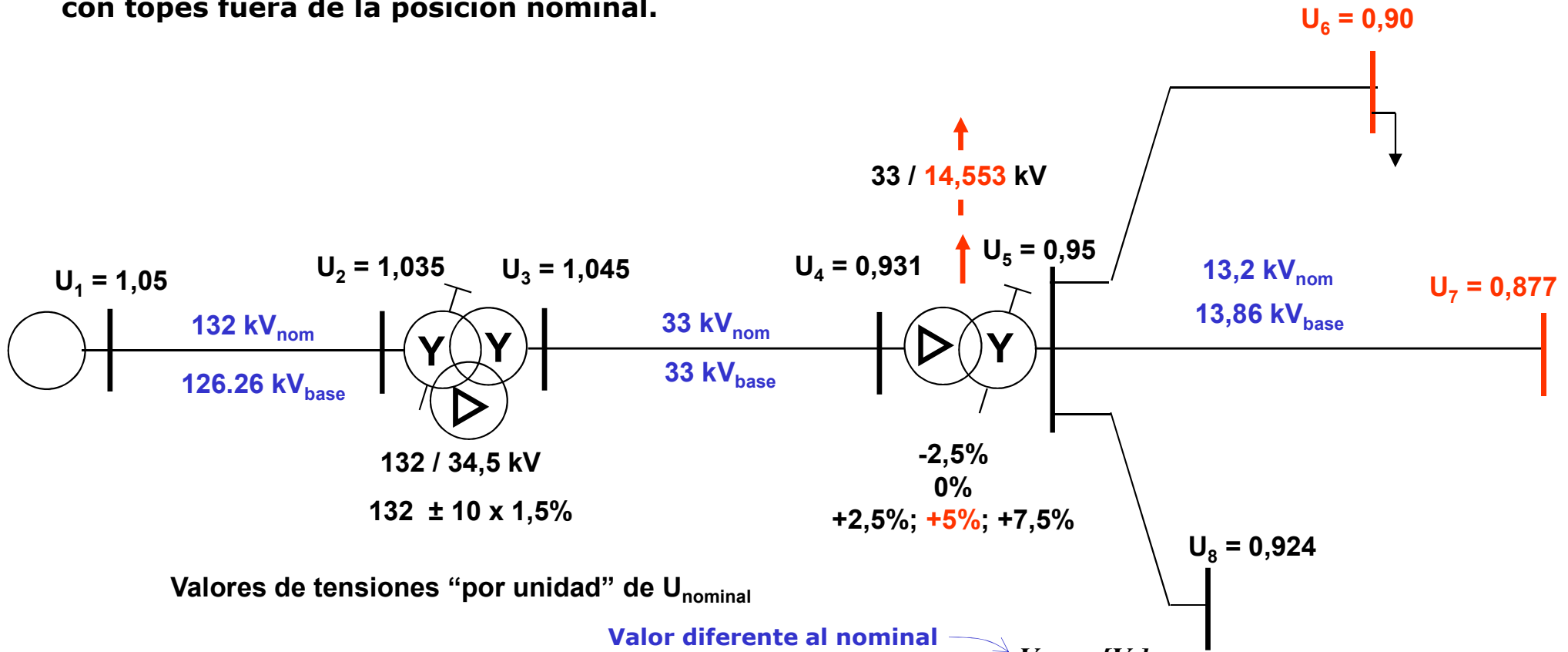
Por ejemplo, para el nivel de transmisión o AT, ...

$$|I_1| = 3.182 \text{ pu} \quad \arg(I_1) \cdot \frac{180}{\pi} = -36.623^\circ$$

$I_{bAT} := 22.864$ ← Corriente base, en Amperes, para el nivel de Alta Tensión

$|I_1| \cdot I_{bAT} = 72.748 \text{ A}$ ← Corriente, en Amperes, en el arranque del Sistema Eléctrico

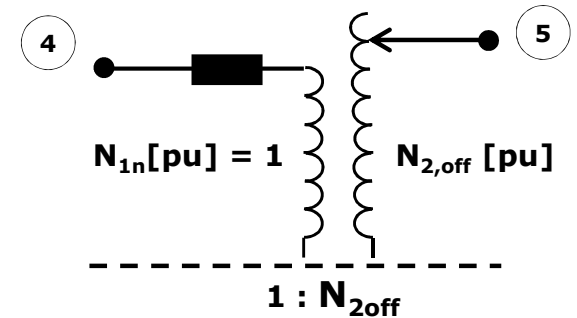
- Del cálculo realizado se observa la necesidad de operar el Transformador entre Barras 4 y 5 con topos fuera de la posición nominal.



De desarrollos previos ... $Z_T'' [pu] = Z_T' [pu] \cdot (\alpha [pu])^2$ Ahora $\alpha \rightarrow \alpha_{off} = \frac{V_{N2,off} [V]}{V_{N1} [V]} = \frac{V_{N2,off} [pu]}{V_{N1} [pu]} = \frac{N_{N2,off} [pu]}{N_{N1} [pu]} \neq 1$

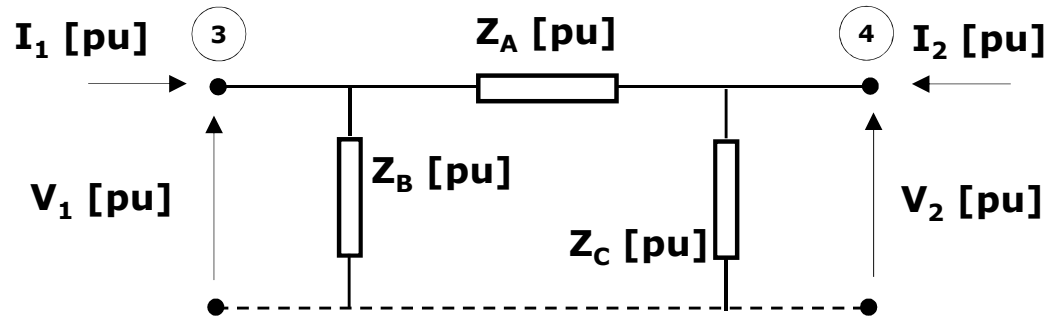
Valor original

- ¿Qué hacemos ahora?. ¿Habiendo tomado como U_{base} de partida la del nivel de 33kV, recálculamos todas las cantidades bases (y de ahí también todas las cantidades "pu") del nivel a la derecha del transformador 4-5?



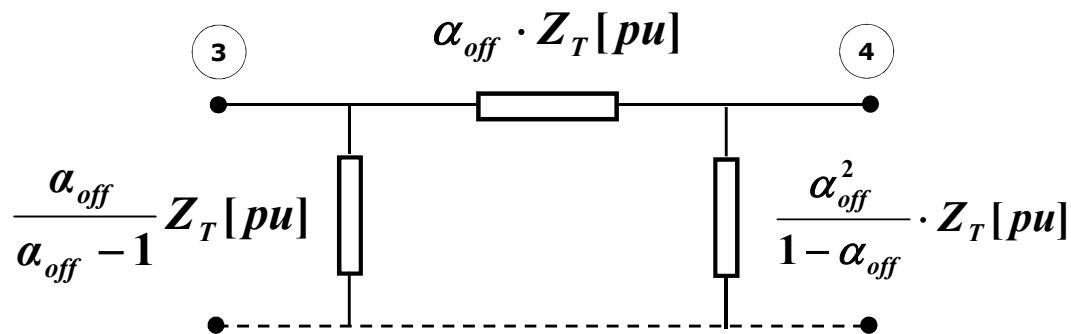
CIRCUITO EQUIVALENTE EN [PU] DE UN TRANSFORMADOR CON RELACIONES DE ESPIRAS FUERA DE LA NOMINAL

- O modificamos el circuito equivalente del transformador “por unidad”, así ...



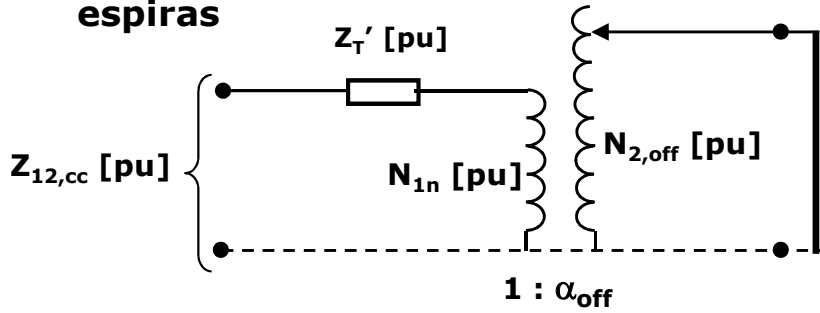
... tal que, **cada vez que cambie α cambien Z_A [pu], Z_B [pu] y Z_C [pu]**, pero **no cambien V_{b2} ni I_{b2}** .

- Así, los parámetros de este equivalente del transformador “por unidad”, en función de su actual relación de espiras, resultarán ...



Donde Z_T [pu]: Impedancia de Cortocircuito, “pu”, cuando la relación de espiras es la nominal.

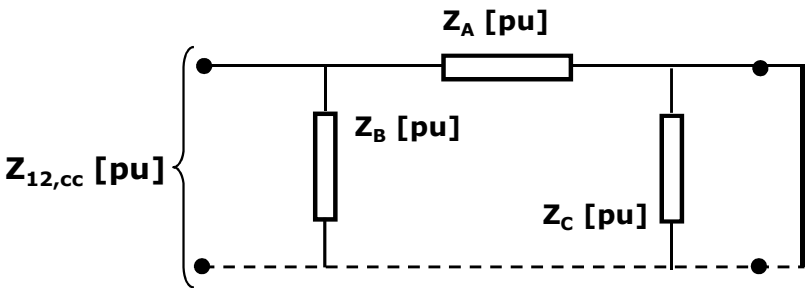
- Justificación del equivalente del transformador "por unidad", en función de su nueva relación de espiras



$$Z_{12,cc} [pu] = Z_T [pu]$$

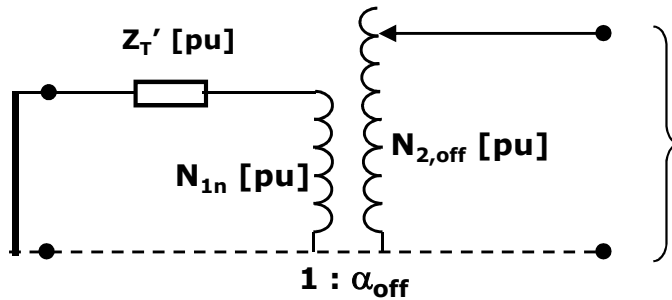
$$(Z_T' [pu] = Z_T [pu])$$

$$Z_T [pu] = \frac{Z_A [pu] \cdot Z_B [pu]}{Z_A [pu] + Z_B [pu]} \quad (1)$$



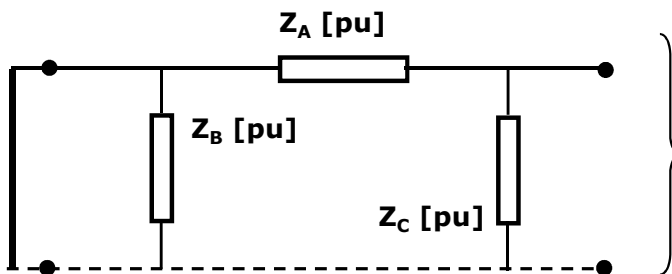
$$Z_{12,cc} [pu] = Z_A [pu] // Z_B [pu]$$

$$Z_{12,cc} [pu] = \frac{Z_A [pu] \cdot Z_B [pu]}{Z_A [pu] + Z_B [pu]}$$



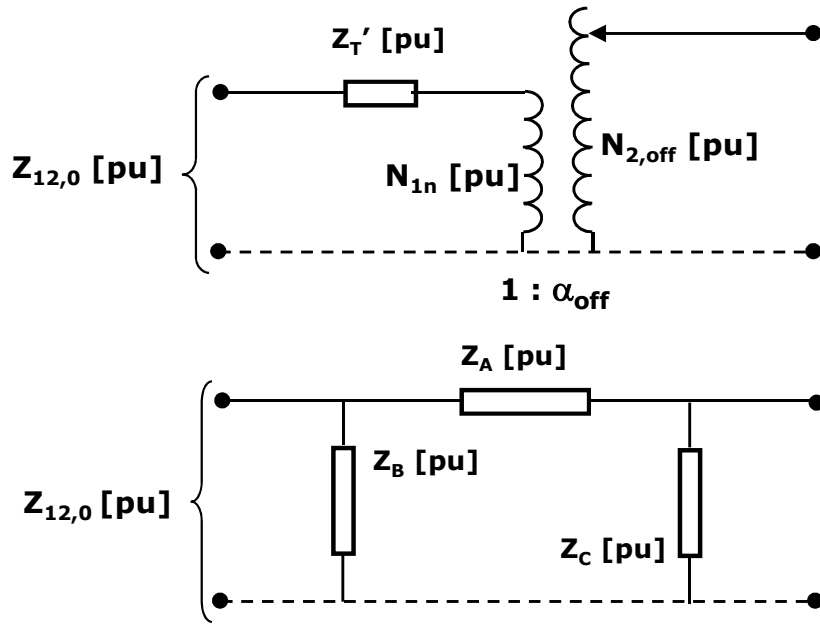
$$Z_{21,cc} [pu] = \alpha_{off}^2 \cdot Z_T [pu]$$

$$\alpha_{off}^2 \cdot Z_T [pu] = \frac{Z_A [pu] \cdot Z_C [pu]}{Z_A [pu] + Z_C [pu]} \quad (2)$$



$$Z_{21,cc} [pu] = Z_A [pu] // Z_C [pu]$$

$$Z_{21,cc} [pu] = \frac{Z_A [pu] \cdot Z_C [pu]}{Z_A [pu] + Z_C [pu]}$$



$$Z_{12,0} [pu] = \infty$$

$$Z_{12,0} [pu] = (Z_A [pu] + Z_C [pu]) // Z_B [pu]$$

$$Z_{12,0} [pu] = \frac{(Z_A [pu] + Z_C [pu]) \cdot Z_B [pu]}{Z_A [pu] + Z_C [pu] + Z_B [pu]}$$

$$\infty = \frac{(Z_A [pu] + Z_C [pu]) \cdot Z_B [pu]}{Z_A [pu] + Z_B [pu] + Z_C [pu]} \quad (3)$$

$$0 = Z_A [pu] + Z_B [pu] + Z_C [pu] \quad (3')$$

$$Z_T [pu] = \frac{Z_A [pu] \cdot Z_B [pu]}{Z_A [pu] + Z_B [pu]} \quad (1)$$

$$\alpha_{off}^2 \cdot Z_T [pu] = \frac{Z_A [pu] \cdot Z_C [pu]}{Z_A [pu] + Z_C [pu]} \quad (2)$$

$$0 = Z_A [pu] + Z_B [pu] + Z_C [pu] \quad (3')$$

De (3') $Z_A [pu] + Z_B [pu] = -Z_C [pu]$ en (1):

$$Z_T [pu] = \frac{Z_A [pu] \cdot Z_B [pu]}{-Z_C [pu]} = Z_A [pu] \cdot \left(-\frac{Z_B [pu]}{Z_C [pu]} \right) \quad (1')$$

De (3') $Z_A [pu] + Z_C [pu] = -Z_B [pu]$ en (2):

$$\alpha_{off}^2 \cdot Z_T [pu] = \frac{Z_A [pu] \cdot Z_C [pu]}{-Z_B [pu]} = \frac{Z_A [pu]}{\left(-\frac{Z_B [pu]}{Z_C [pu]} \right)} \quad (2')$$

De página anterior

$$Z_T[pu] = \frac{Z_A[pu] \cdot Z_B[pu]}{Z_A[pu] + Z_B[pu]} \quad (1)$$

$$\alpha_{off}^2 \cdot Z_T[pu] = \frac{Z_A[pu] \cdot Z_C[pu]}{Z_A[pu] + Z_C[pu]} \quad (2)$$

$$0 = Z_A[pu] + Z_B[pu] + Z_C[pu] \quad (3')$$

De (3') $Z_A[pu] + Z_B[pu] = -Z_C[pu]$ en (1):

$$Z_T[pu] = \frac{Z_A[pu] \cdot Z_B[pu]}{-Z_C[pu]} = Z_A[pu] \cdot \left(-\frac{Z_B[pu]}{Z_C[pu]} \right) \quad (1')$$

De (3') $Z_A[pu] + Z_C[pu] = -Z_B[pu]$ en (2):

$$\alpha_{off}^2 \cdot Z_T[pu] = \frac{Z_A[pu] \cdot Z_C[pu]}{-Z_B[pu]} = \frac{Z_A[pu]}{\left(-\frac{Z_B[pu]}{Z_C[pu]} \right)} \quad (2')$$

De (2') $-\frac{Z_B[pu]}{Z_C[pu]} = \frac{Z_A[pu]}{\alpha_{off}^2 \cdot Z_T[pu]}$ en (1'):

$$Z_T[pu] = Z_A[pu] \cdot \frac{Z_A[pu]}{\alpha_{off}^2 \cdot Z_T[pu]}$$

$$\alpha_{off}^2 \cdot Z_T^2[pu] = Z_A^2[pu]$$

$$Z_A[pu] = \alpha_{off} \cdot Z_T[pu] \quad (4)$$

De (4) en (1): $Z_T[pu] = \frac{\alpha_{off} \cdot Z_T[pu] \cdot Z_B[pu]}{\alpha_{off} \cdot Z_T[pu] + Z_B[pu]}$

$$\alpha_{off} \cdot Z_T^2[pu] + Z_T \cdot Z_B[pu] = \alpha_{off} \cdot Z_T[pu] \cdot Z_B[pu]$$

$$\alpha_{off} \cdot Z_T[pu] + Z_B[pu] = \alpha_{off} \cdot Z_B[pu]$$

$$\alpha_{off} \cdot Z_T[pu] = \alpha_{off} \cdot Z_B[pu] - Z_B[pu]$$

$$Z_B[pu] = \frac{\alpha_{off}}{\alpha_{off} - 1} Z_T[pu] \quad (5)$$

De (4) y (5) en (3'): $Z_C[pu] = -Z_A[pu] - Z_B[pu]$

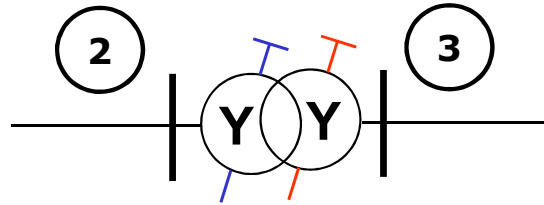
$$Z_C[pu] = -\alpha_{off} \cdot Z_T[pu] - \frac{\alpha_{off}}{\alpha_{off} - 1} \cdot Z_T[pu]$$

$$Z_C[pu] = -\alpha_{off} \cdot Z_T[pu] \cdot \left(-1 - \frac{1}{\alpha_{off} - 1} \right) = -\alpha_{off} \cdot Z_T[pu] \cdot \left(\frac{-\alpha_{off} + 1 - 1}{\alpha_{off} - 1} \right)$$

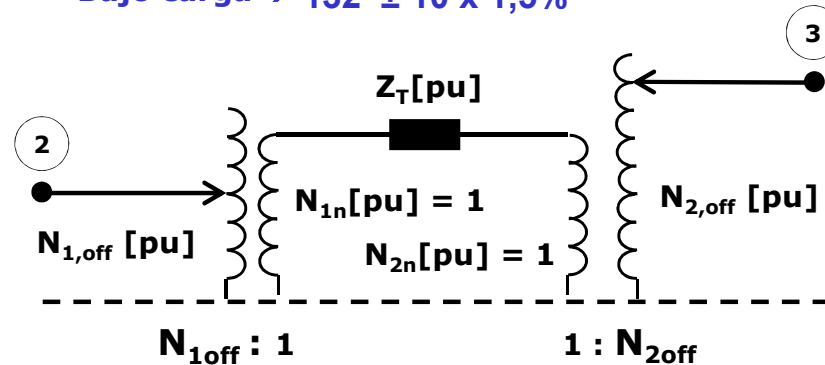
$$Z_C[pu] = \frac{\alpha_{off}^2}{1 - \alpha_{off}} \cdot Z_T[pu] \quad (6)$$

Puede también darse la situación siguiente ...

34,5 ± 5%, ± 2,5 % ← En vacío



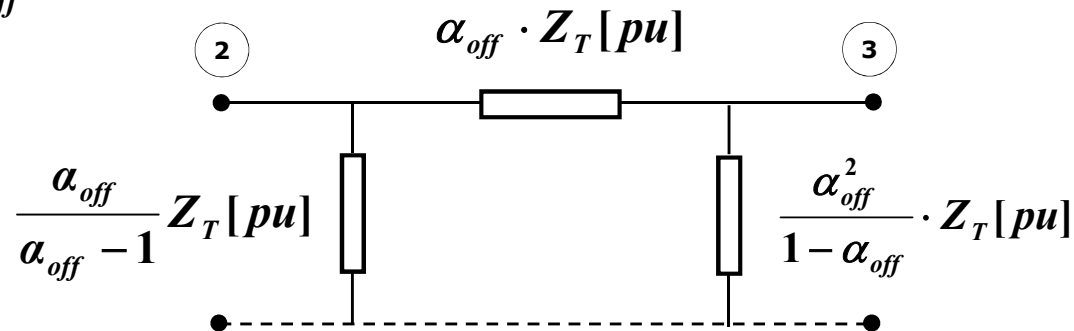
Bajo carga → 132 ± 10 x 1,5%



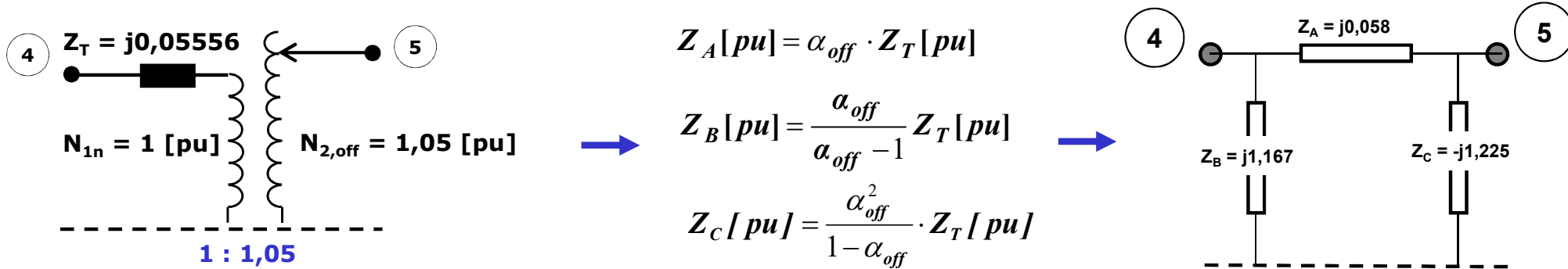
Con lo que ahora ...

$$\alpha_{off} = \frac{\frac{V_{N2,off} [V]}{V_{b2} [V]}}{\frac{V_{N1,off} [V]}{V_{b1} [V]}} = \frac{V_{N2,off} [pu]}{V_{N1,off} [pu]}$$

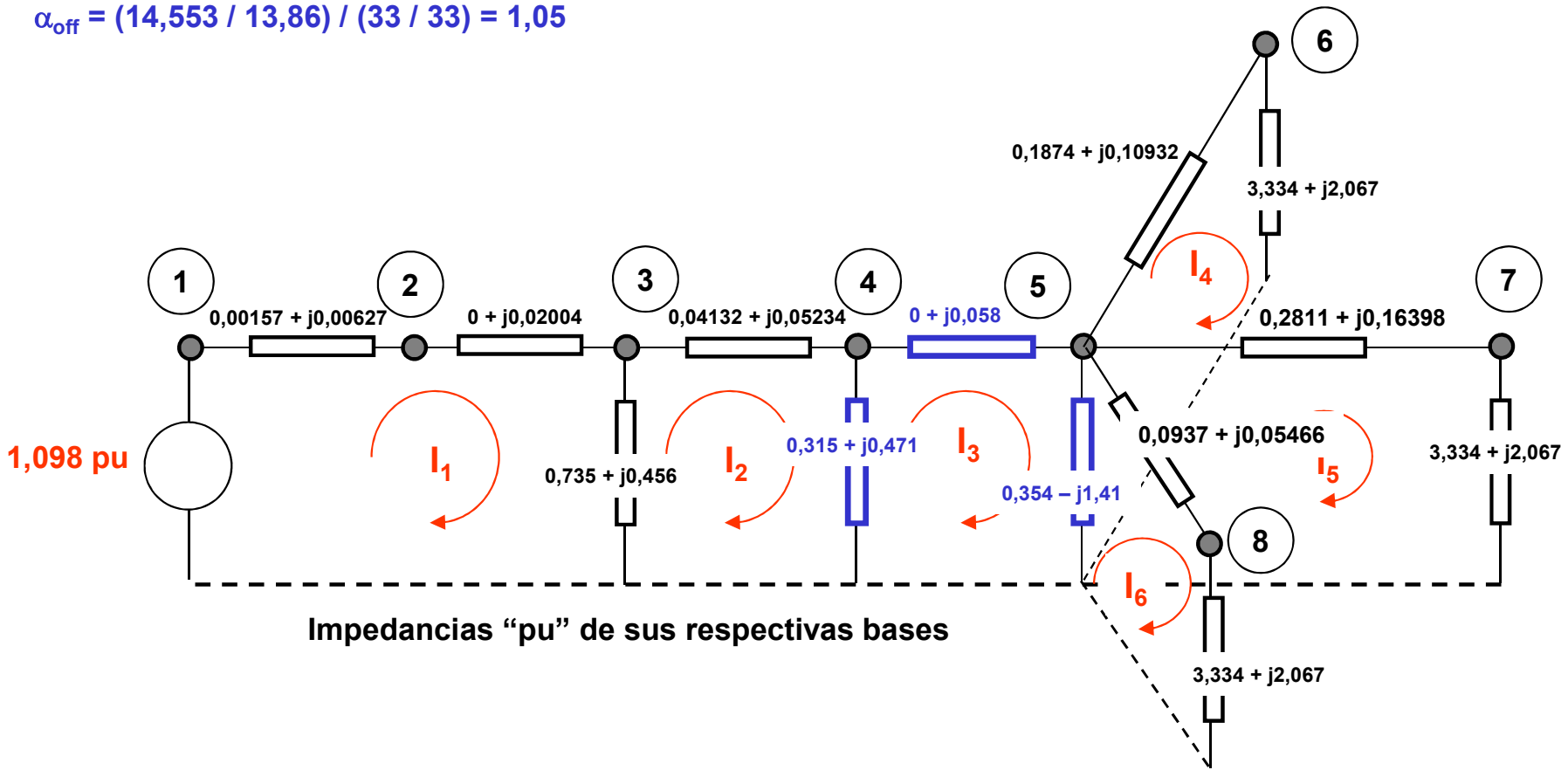
Luego, los parámetros del circuito equivalente al transformador deberán valorarse con este nuevo α_{off}



Retomado nuevamente el Ejemplo antes planteado ...



$\alpha_{off} = (14,553 / 13,86) / (33 / 33) = 1,05$



$$Z := \begin{pmatrix} 0.73657 + 0.476667i & -0.735 - 0.456i & 0 & 0 & 0 & 0 \\ -0.735 - 0.456i & 1.09132 + 0.97934i & -0.315 - .471i & 0 & 0 & 0 \\ 0 & -0.315 - .471i & 0.669 - 0.881i & -0.354 + 1.41i & -0.354 + 1.41i & -0.354 + 1.41i \\ 0 & 0 & -0.354 + 1.41i & 3.8754 + .76632i & 0.354 - 1.41i & 0.354 - 1.41i \\ 0 & 0 & -0.354 + 1.41i & 0.354 - 1.41i & 3.9691 + 0.82098i & 0.354 - 1.41i \\ 0 & 0 & -0.354 + 1.41i & 0.354 - 1.41i & 0.354 - 1.41i & 3.7817 + 0.71166i \end{pmatrix}$$

$$I := Z^{-1} \cdot E \quad \longrightarrow \quad I = \begin{pmatrix} 2.561 - 1.953i \\ 1.557 - 1.262i \\ 0.767 + 0.17i \\ 0.176 - 0.144i \\ 0.172 - 0.14i \\ 0.181 - 0.148i \end{pmatrix}$$

$$V4 := (I_2 - I_3) \cdot (0.735 + 0.456i) \quad \longrightarrow \quad |V4| = 1.414$$

$$V5 := I_4 \cdot (0.1874 + 0.10932i + 3.334 + 2.067i) \quad \longrightarrow \quad |V5| \cdot \frac{V_{bD}}{V_{nD}} = 0.988$$

$$V6 := I_4 \cdot (3.334 + 2.067i) \quad \longrightarrow \quad |V6| \cdot \frac{V_{bD}}{V_{nD}} = 0.937$$

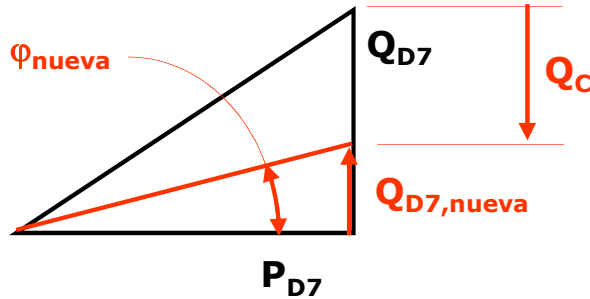
$$V7 := I_5 \cdot (3.334 + 2.067i) \quad \longrightarrow \quad |V7| \cdot \frac{V_{bD}}{V_{nD}} = 0.913$$

$$V8 := I_6 \cdot (3.334 + 2.067i) \quad \longrightarrow \quad |V8| \cdot \frac{V_{bD}}{V_{nD}} = 0.962$$

Aún no se ha logrado que U_7 entre dentro de la banda admisible \rightarrow Habrá que recalcular todo considerando que el transformador 4-5 opera con un tope más arriba que el actual \rightarrow Tarea para la casa.

Alternativa sugerida por un alumno para mejorar la tensión en la Barra 7: instalar capacitores shunt en ella.

Se probará compensar parte del reactivo consumido por la demanda, llevando el conjunto a operar con un $\text{fp} = 0,98$



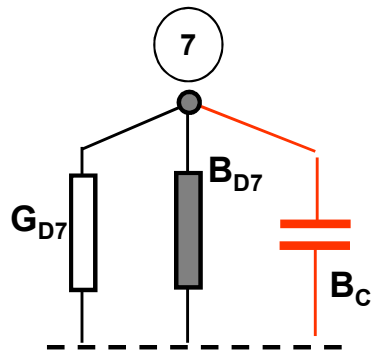
$$\varphi_{nueva} = \cos^{-1}(0,98) = 11,48^\circ$$

$$P_{D7} + jQ_{D7} = 0,983 + j0,609 \text{ MVA}r$$

$$Q_{D7,nueva} = P_{D7} * \text{tg}(\varphi_{nueva}) = 0,1996 \text{ MVA}r$$

$$Q_C = Q_{D7} - Q_{D7,nueva} = 0,4094 \text{ MVA}r$$

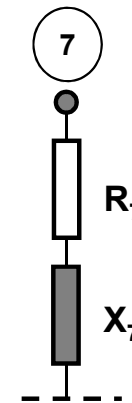
$$B_C = \omega C = Q_C / U^2 = 0,00235 \text{ S}$$



$$G_{D7} = P_{D7} / U^2 = 0,005642 \text{ S}$$

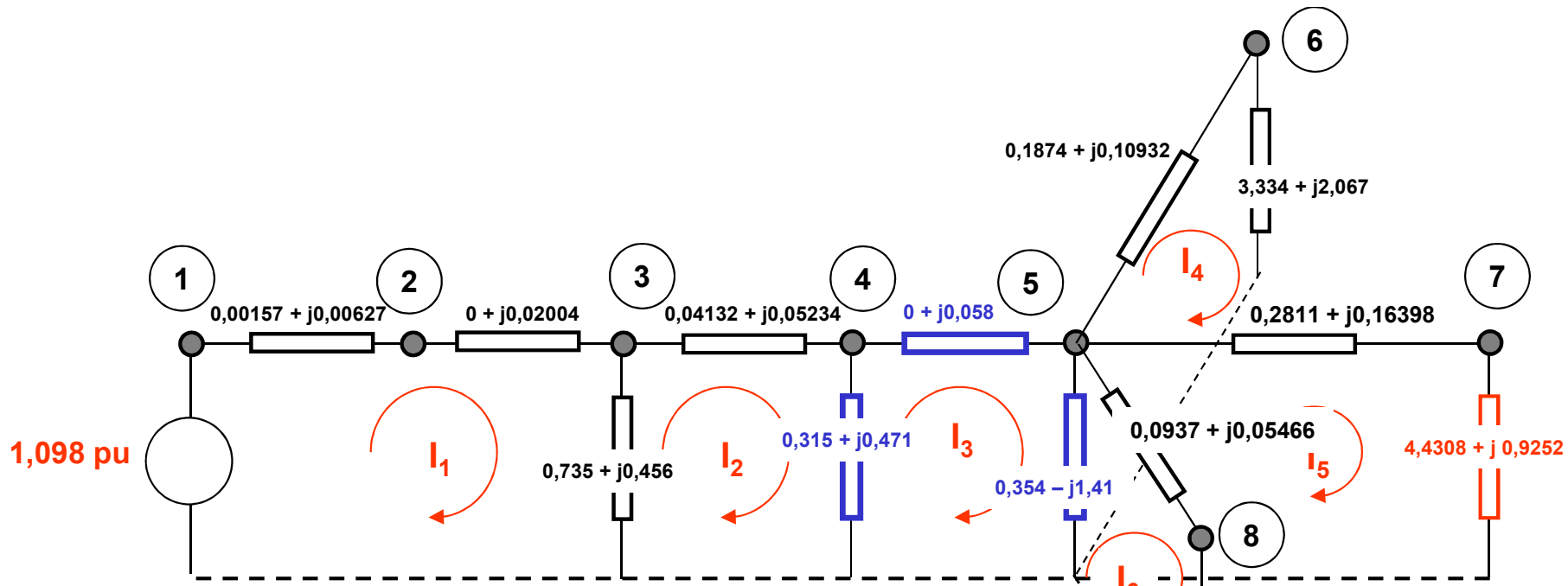
$$B_{D7} = Q_{D7} / U^2 = 0,003495 \text{ S}$$

$$B_C = \omega C = Q_C / U^2 = 0,00235 \text{ S}$$



$$R_7 + jX_7 = 1 / [G_{D7} + j(B_C - B_{D7})] = 170,231 + j34,547 \text{ Ohms}$$

$$R_7 + jX_7 = (170,231 + j34,547 \text{ Ohms}) / 38,42 \text{ Ohms} = 4,4308 + j0,92522 \text{ pu}$$



Capacitor de $Q_C = 0,4094$ MVAR presente en Barra 7 solo altera el valor de Z_{55}

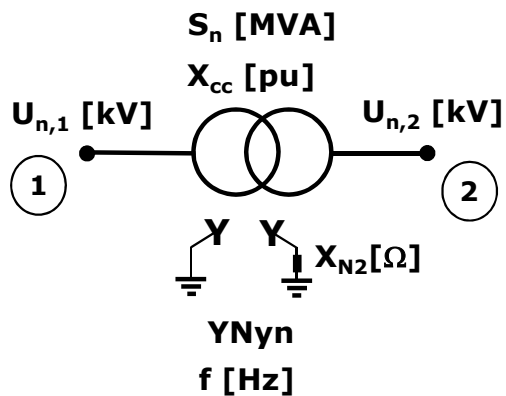
$$Z := \begin{pmatrix} 0.73657 + 0.476667i & -0.735 - 0.456i & 0 & 0 & 0 & 0 & 0 \\ -0.735 - 0.456i & 1.09132 + 0.97934i & -0.315 - .471i & 0 & 0 & 0 & 0 \\ 0 & -0.315 - .471i & 0.669 - 0.881i & -0.354 + 1.41i & -0.354 + 1.41i & -0.354 + 1.41i & -0.354 + 1.41i \\ 0 & 0 & -0.354 + 1.41i & 3.8754 + .76632i & 0.354 - 1.41i & 0.354 - 1.41i & 0.354 - 1.41i \\ 0 & 0 & -0.354 + 1.41i & 0.354 - 1.41i & \mathbf{5.0659 - 0.32082i} & 0.354 - 1.41i & 0.354 - 1.41i \\ 0 & 0 & -0.354 + 1.41i & 0.354 - 1.41i & 0.354 - 1.41i & 3.7817 + 0.71166i & 0 \end{pmatrix}$$

$$I = \begin{pmatrix} 2.579 - 1.893i \\ 1.573 - 1.201i \\ 0.786 + 0.241i \\ 0.177 - 0.146i \\ 0.184 - 0.07i \\ 0.182 - 0.15i \end{pmatrix} \cdot \begin{matrix} \longrightarrow \\ \longrightarrow \\ \longrightarrow \\ \longrightarrow \\ \longrightarrow \\ \longrightarrow \end{matrix} V_7 := I_5 \cdot (4.4308 + 0.92522j) \longrightarrow \left(|V_7| \cdot \frac{V_{bD}}{V_{nD}} = 0.933 \right)$$

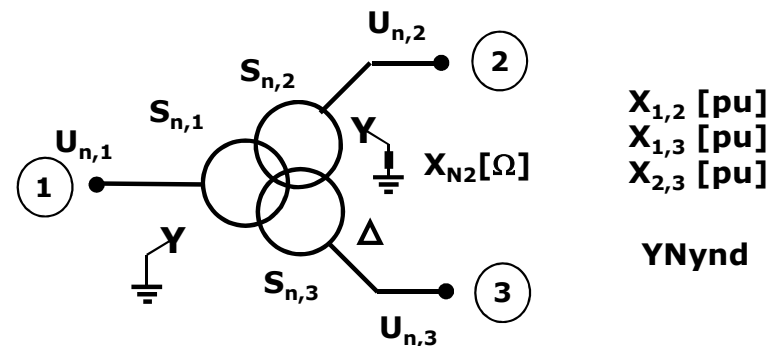
MODELADO DE LOS TRANSFORMADORES

Símbolos e información básica

Transformador Trifásico de Dos Devanados



Transformador Trifásico de Tres Devanados



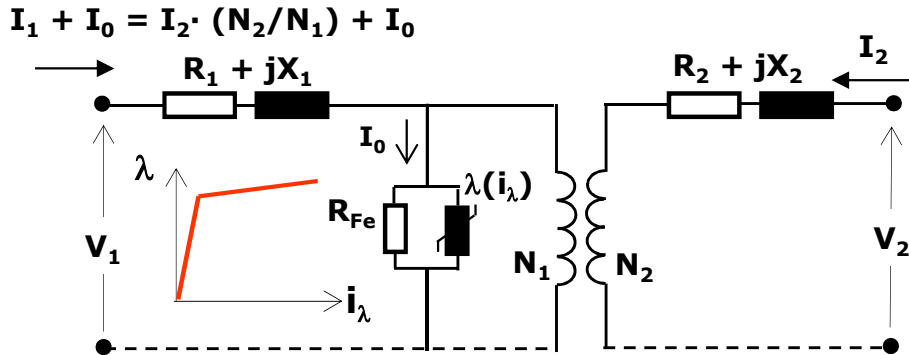
$X_{1,2}$ [pu]
 $X_{1,3}$ [pu]
 $X_{2,3}$ [pu]

YNynd

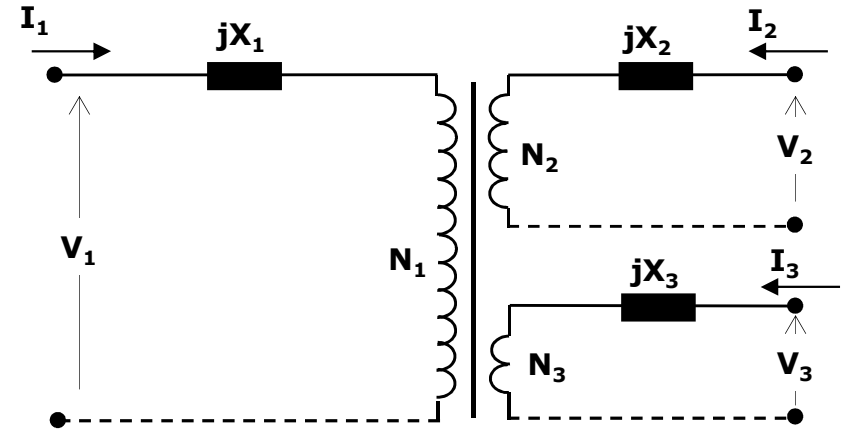
MODELADO DE LOS TRANSFORMADORES

Secuencia Directa

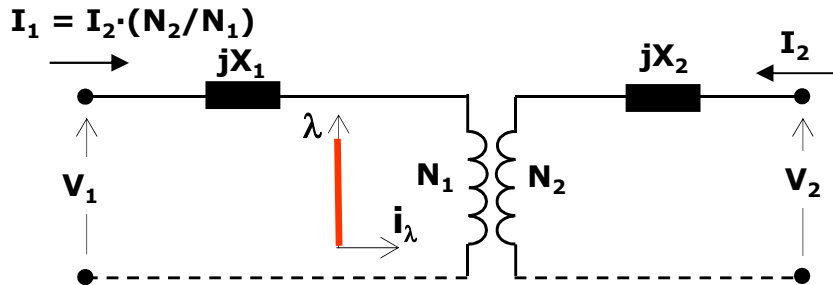
Transformador de dos devanados
Circuito Exacto – Parámetros Reales



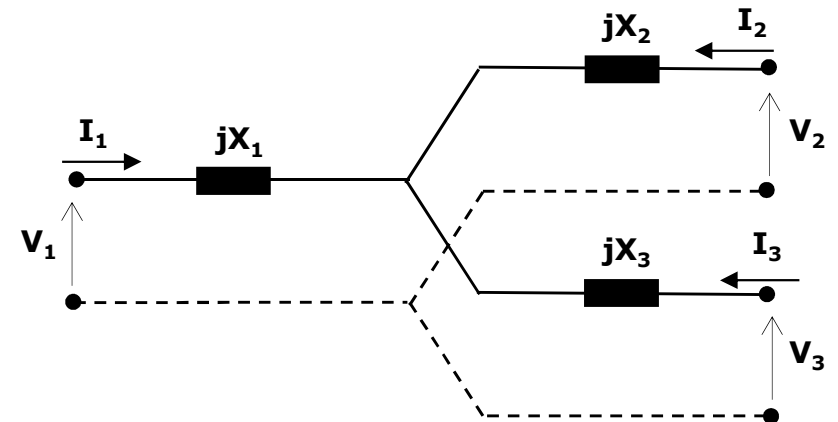
Transformador de tres devanados
Circuito Utilizado en SEP's- Parámetros Reales



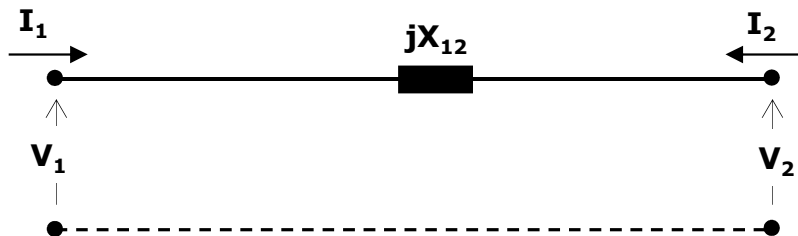
Circuito Simplificado Utilizado en SEP's- Parámetros Reales



Circuito Utilizado en SEP's- Parámetros Relativos o [pu]

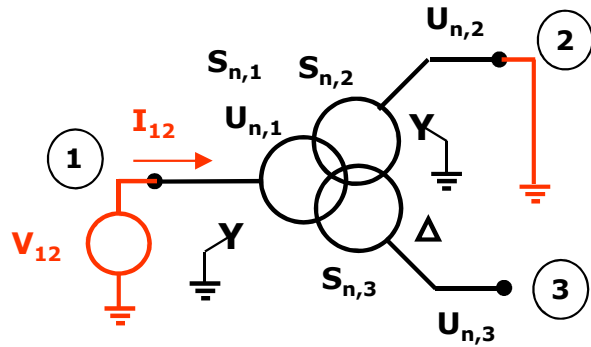


Circuito Utilizado en SEP's- Parámetros Relativos o [pu]

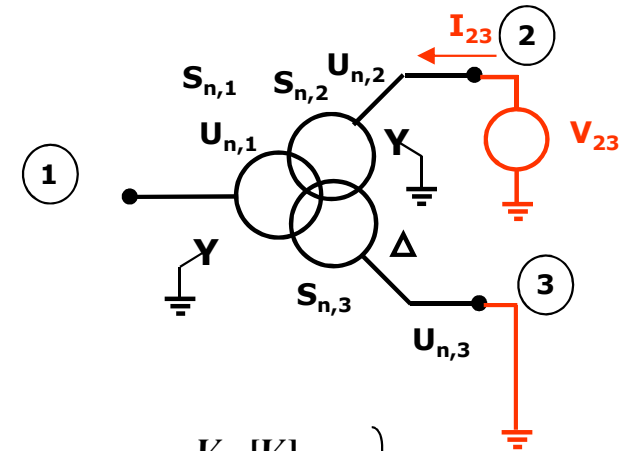


MODELADO DE LOS TRANSFORMADORES

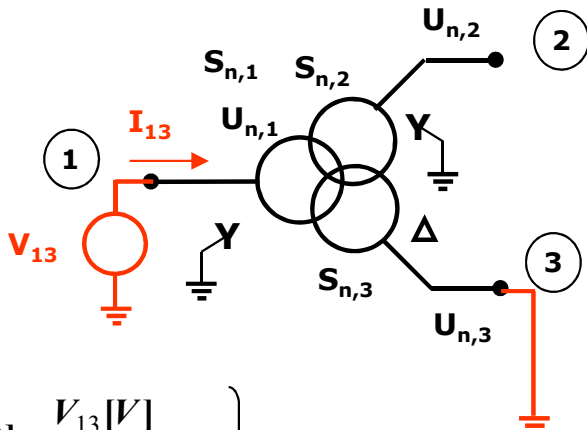
Secuencia Directa



$$\left. \begin{aligned} X_{12}[\Omega] &= \frac{V_{12}[V]}{I_{12}[A]} \\ Z_{n1}[\Omega] &= \frac{(U_{n1}[kV])^2}{S_{n1}[MVA]} \end{aligned} \right\} \begin{aligned} X_{12}[pu] &= \frac{X_{12}[\Omega]}{Z_{n1}[\Omega]} \\ X_{12} &= X_1 + X_2 \end{aligned}$$



$$\left. \begin{aligned} X_{23}[\Omega] &= \frac{V_{23}[V]}{I_{23}[A]} \\ Z_{n2}[\Omega] &= \frac{(U_{n2}[kV])^2}{S_{n1}[MVA]} \end{aligned} \right\} \begin{aligned} X_{23}[pu] &= \frac{X_{23}[\Omega]}{Z_{n2}[\Omega]} \\ X_{23} &= X_2 + X_3 \end{aligned}$$



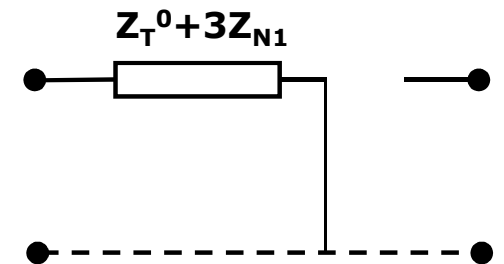
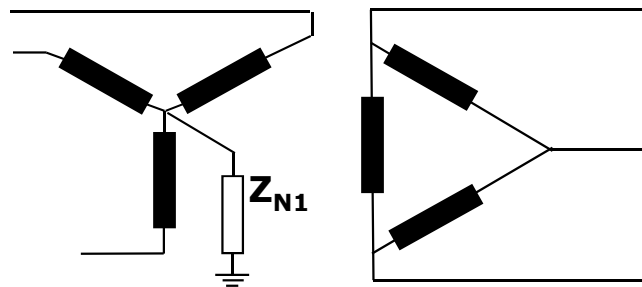
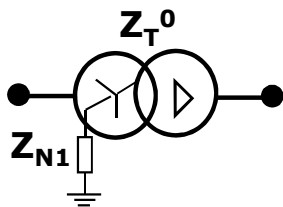
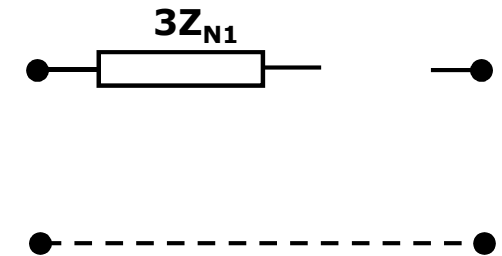
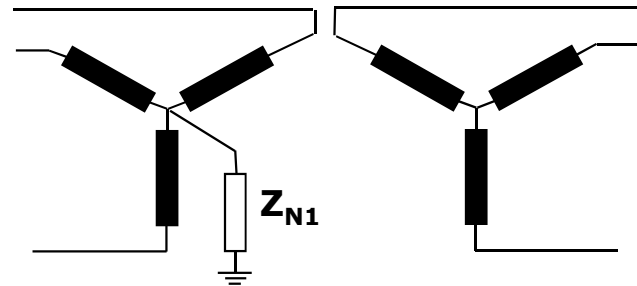
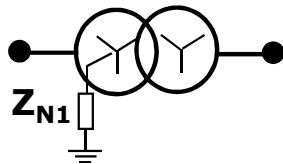
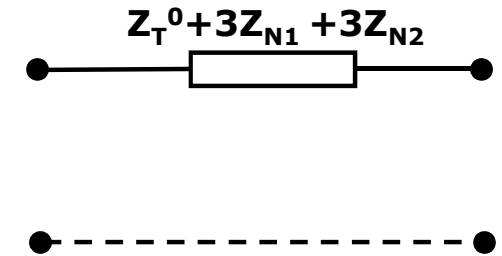
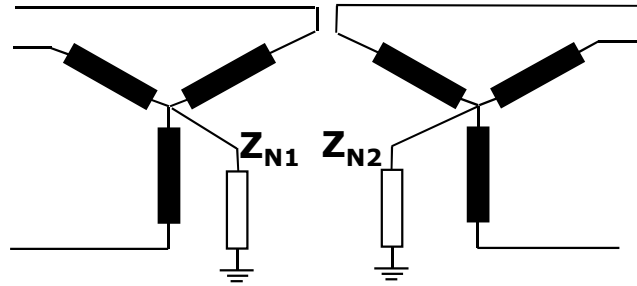
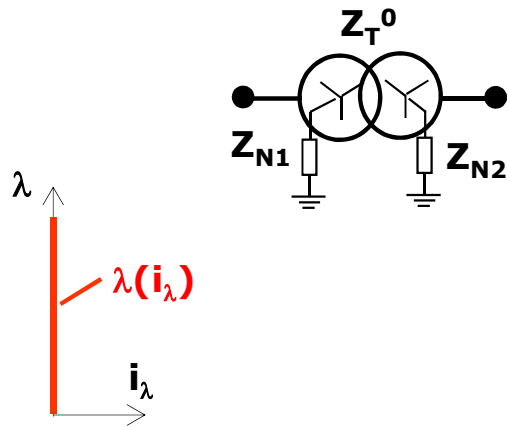
$$\left. \begin{aligned} X_{13}[\Omega] &= \frac{V_{13}[V]}{I_{13}[A]} \\ Z_{n1}[\Omega] &= \frac{(U_{n1}[kV])^2}{S_{n1}[MVA]} \end{aligned} \right\} \begin{aligned} X_{13}[pu] &= \frac{X_{13}[\Omega]}{Z_{n1}[\Omega]} \\ X_{13} &= X_1 + X_3 \end{aligned}$$

$$\left. \begin{aligned} X_{12} &= X_1 + X_2 \\ X_{13} &= X_1 + X_3 \\ X_{23} &= X_2 + X_3 \end{aligned} \right\} \begin{aligned} X_1 &= 0,5 \cdot (X_{12} + X_{13} - X_{23}) \\ X_2 &= 0,5 \cdot (X_{12} + X_{23} - X_{13}) \\ X_3 &= 0,5 \cdot (X_{13} + X_{23} - X_{12}) \end{aligned}$$

$$X_i = 0,5 \cdot (X_{ij} + X_{ik} - X_{jk})$$

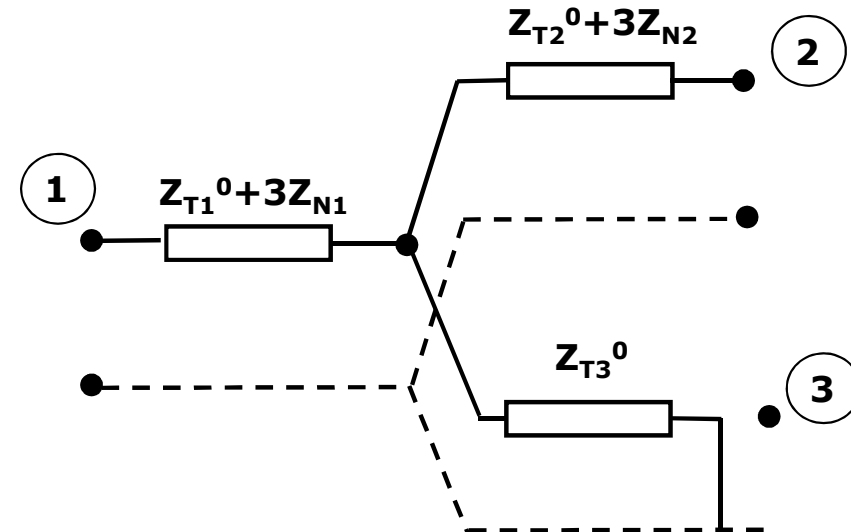
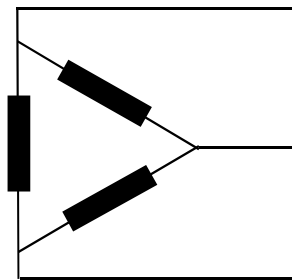
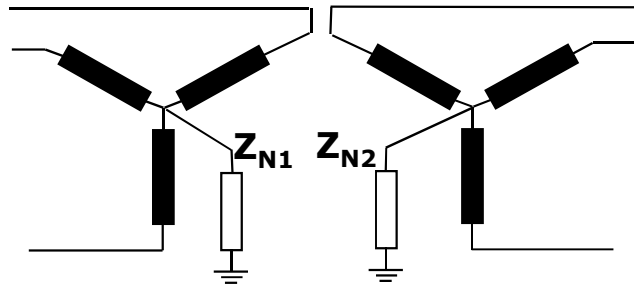
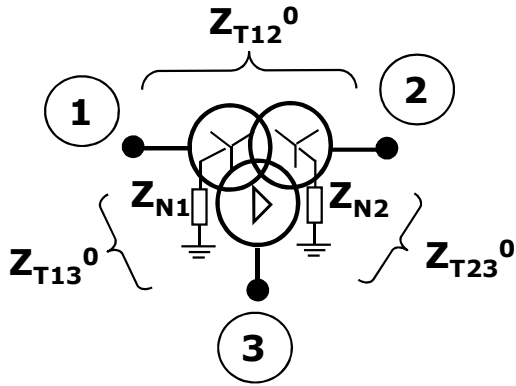
MODELADO DE LOS TRANSFORMADORES

Secuencia Homopolar - Resumen



Giros angulares opuestos según secuencia + o -

MODELADO DE LOS TRANSFORMADORES Secuencia Homopolar



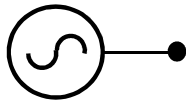
**EL GENERADOR SINCRÓNICO
EN LOS CÁLCULOS DE
FLUJOS DE POTENCIA [UT4] Y DESPACHO
ECONÓMICO DE CARGAS [UT5]**

GENERADOR SINCRÓNICO

El generador siempre se modelará como “de rotor liso”.

Símbolo e información básica:

U_n [kV]; S_n [MVA]; f [Hz]



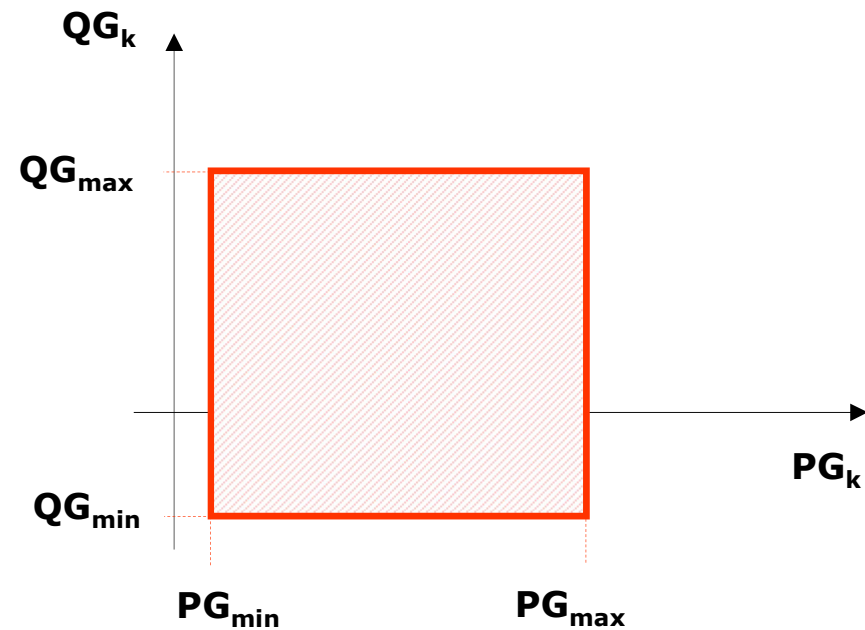
Información adicional:

Curva PG & QG;

Grupo de Conexión (Y, YN o D);

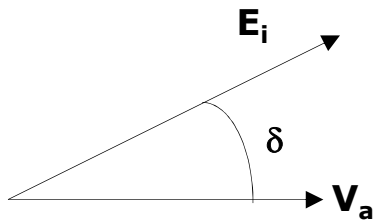
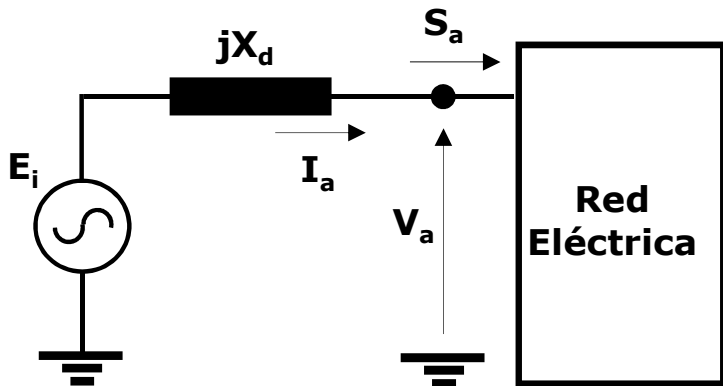
X_d'' [pu]; X_d' [pu]; X_d [pu];

X_2 [pu]; X_0 [pu].



GENERADOR SINCRÓNICO – CURVA DE CARGABILIDAD

• CONTROL DE CARGA DE LOS GENERADORES SINCRÓNICOS



$$S_a = V_a \cdot I_a^* \quad [pu]$$

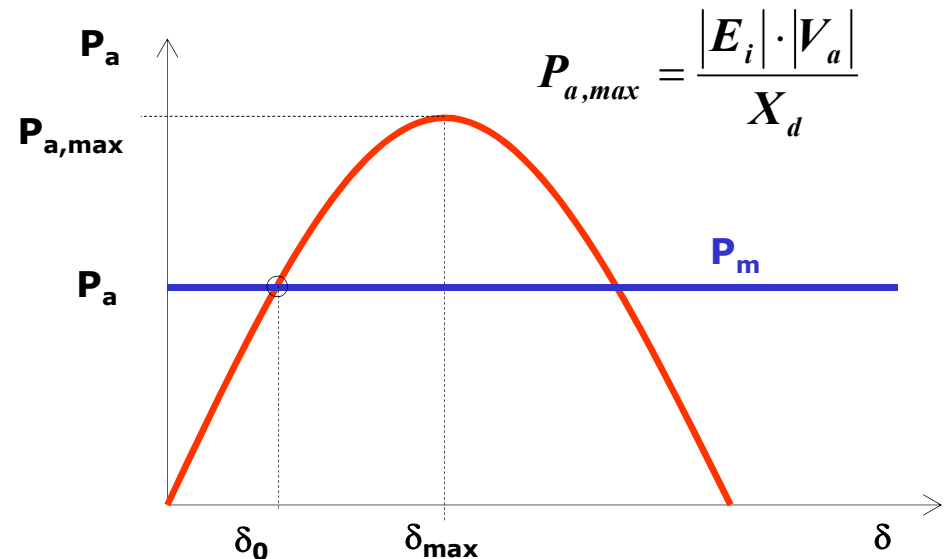
$$S_a = V_a \cdot \left(\frac{E_i - V_a}{jX_d} \right)^* = \frac{|E_i| \cdot |V_a| \angle -\delta}{X_d \angle -90^\circ} - \frac{|V_a|^2}{X_d \angle -90^\circ}$$

$$S_a = \frac{|E_i| \cdot |V_a|}{X_d} \angle (90^\circ - \delta) - j \frac{|V_a|^2}{X_d}$$

$$S_a = \frac{|E_i| \cdot |V_a|}{X_d} (\cos(90^\circ - \delta) + j \sin(90^\circ - \delta)) - j \frac{|V_a|^2}{X_d}$$

$$S_a = \frac{|E_i| \cdot |V_a|}{X_d} \sin(\delta) + j \left[\frac{|E_i| \cdot |V_a|}{X_d} \cos(\delta) - \frac{|V_a|^2}{X_d} \right]$$

$$\begin{cases} P_a = \frac{|E_i| \cdot |V_a|}{X_d} \sin(\delta) \\ Q_a = \frac{|E_i| \cdot |V_a|}{X_d} \cos(\delta) - \frac{|V_a|^2}{X_d} \end{cases}$$

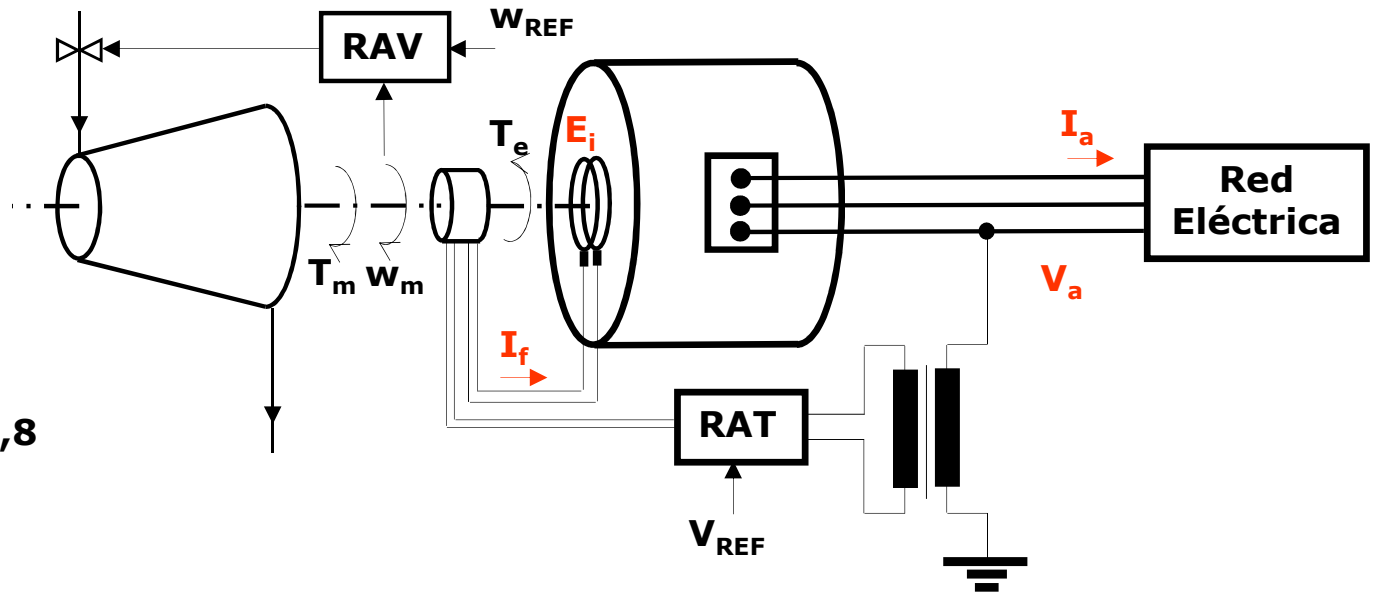


GENERADOR SINCRÓNICO EN REGIMEN PERMANENTE – CURVA DE CARGABILIDAD [UT4 y UT5]

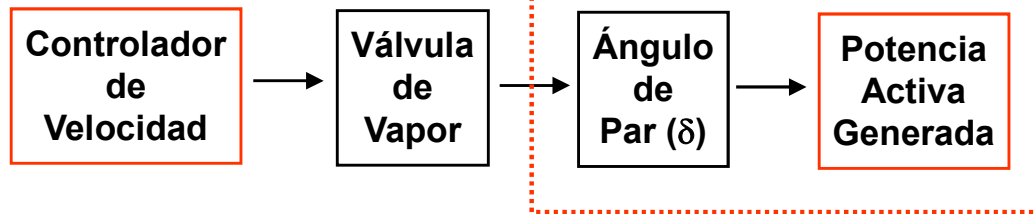
• CONTROL DE CARGA DE LOS GENERADORES SINCRÓNICOS

$$\begin{cases} P_a = \frac{|E_i| \cdot |V_a|}{X_d} \text{sen}(\delta) \\ Q_a = \frac{|E_i| \cdot |V_a|}{X_d} \text{cos}(\delta) - \frac{|V_a|^2}{X_d} \end{cases}$$

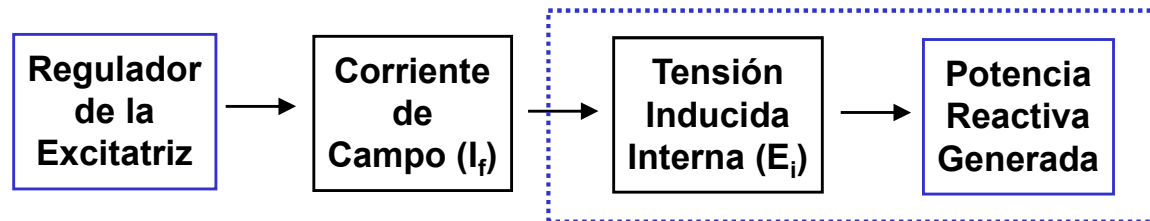
$$\begin{aligned} V_a = I_a = 1; \quad X_d = 0,7; \quad f_p = 0,8 \\ \rightarrow |E_i| = 1,53; \quad \delta = 21,5^\circ \end{aligned}$$



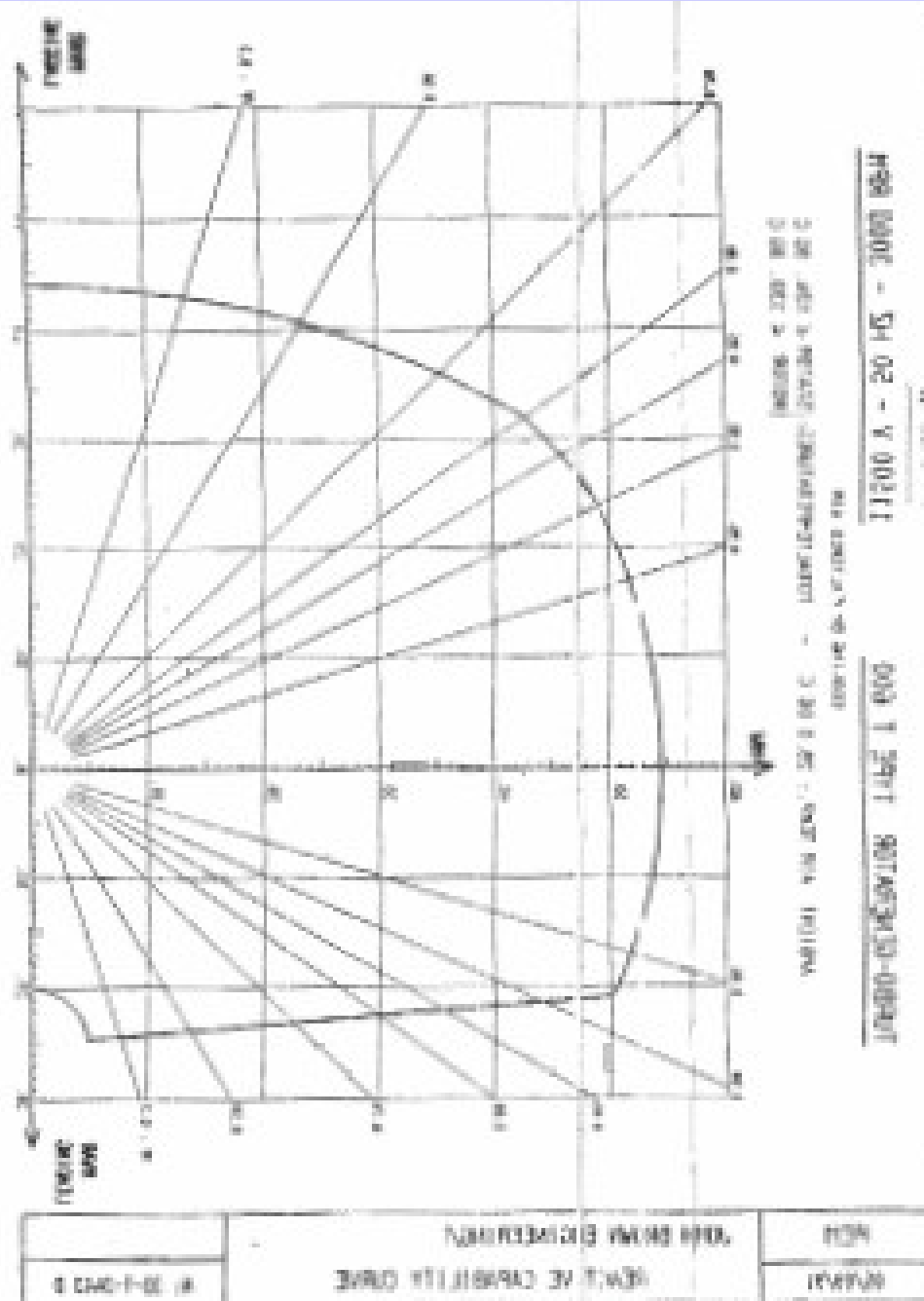
$$\frac{\frac{\partial P_a}{\partial \delta} = \frac{|E_i| \cdot |V_a|}{X_d} \text{cos}(\delta) = 1,979}{\frac{\partial P_a}{\partial |E_i|} = \frac{|V_a|}{X_d} \text{sen}(\delta) = 0,174} = 11,4$$



$$\frac{\frac{\partial Q_a}{\partial |E_i|} = \frac{|V_a|}{X_d} \text{cos}(\delta) = 0,980}{\frac{\partial Q_a}{\partial \delta} = \frac{|E_i| \cdot |V_a|}{X_d} \text{sen}(\delta) = 0,347} = 2,8$$



GENERADOR SINCRÓNICO – CURVA DE CARGABILIDAD [UT4 y UT5]



EL GENERADOR SINCRÓNICO EN LOS CÁLCULOS DE DESPACHO – CURVA DE CARGABILIDAD [UT4 y UT5]

Se asume $|V_a| \approx |V_{a, no\ min\ al}| = cte.$

(1) Límite por calentamiento armadura $\rightarrow I_{a, max}$

$$S_{a, max}(I_{a, max}) = |V_a| \cdot |I_{a, max}| \cdot e^{j\varphi} = |S_{a, max}| \cdot e^{j\varphi} cte.$$

(2) Límite por calentamiento campo $\rightarrow I_{f, max} \rightarrow E_{i, max}$

$$|E_{i, max}| = \omega \cdot M_{af} \cdot I_{f, max}$$

$$S_{a, max}(\delta) = \underbrace{\frac{|E_{i, max}| \cdot |V_a|}{X_d} \cdot (\text{sen}(\delta) + j \text{cos}(\delta))}_{\text{Círculo de radio } a} + \left(0 - j \frac{|V_a|^2}{X_d} \right)$$

Círculo de radio $a = \frac{|E_{i, max}| \cdot |V_a|}{X_d}$ y centro $[0; 0]$

Desplazado ... $[x; y] = [0; -\frac{|V_a|^2}{X_d}]$

(3) Límite por margen estabilidad estática pretendida

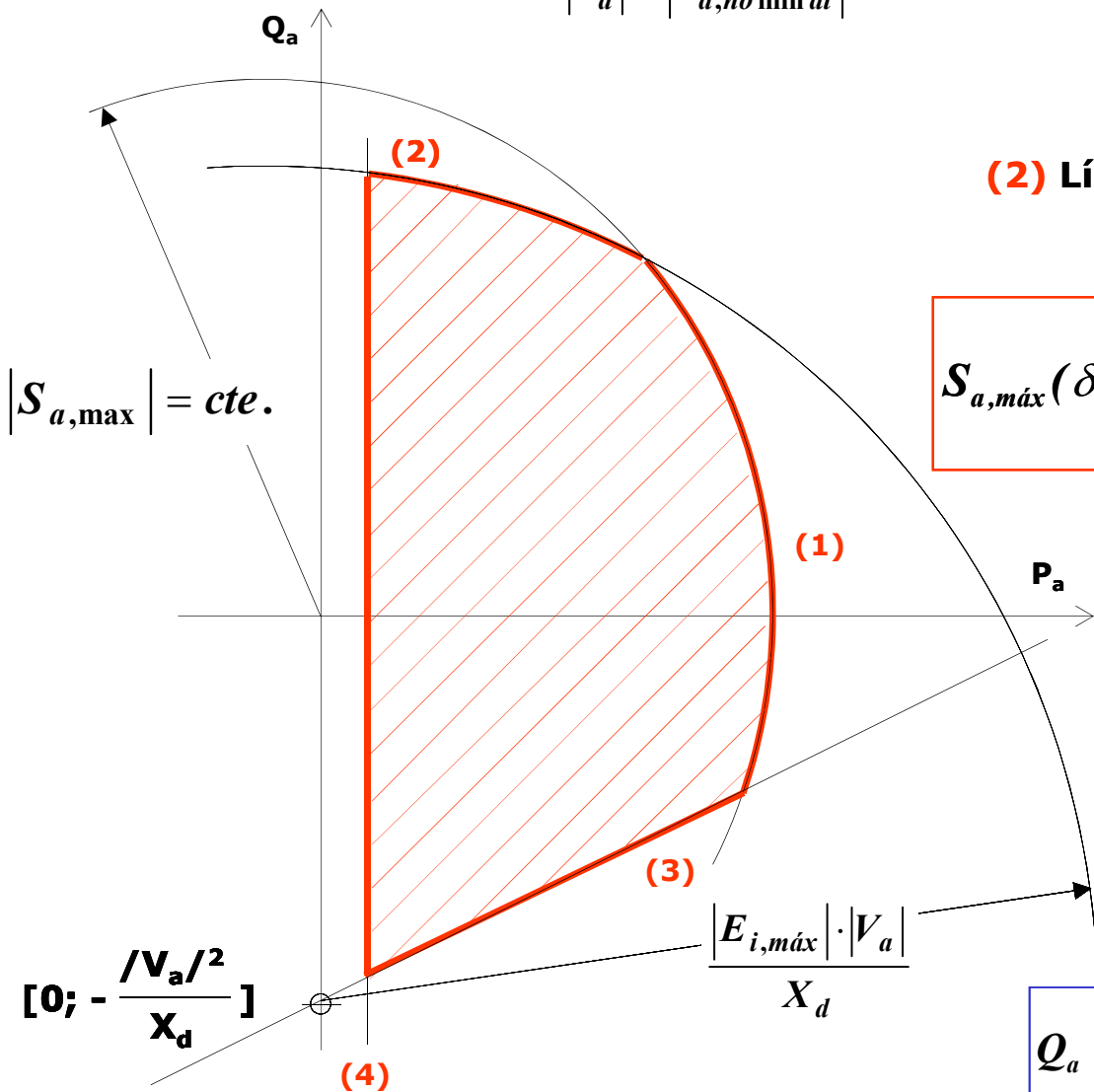
se define un δ_{max} y de ahí $\rightarrow \text{sen}(\delta_{max}) \wedge \text{cos}(\delta_{max})$

$$|E_i| = \frac{P_a \cdot X_d}{|V_a| \cdot \text{sen}(\delta_{max})} \quad Q_a = \frac{|E_i| \cdot |V_a|}{X_d} \text{cos}(\delta) - \frac{|V_a|^2}{X_d}$$

$$Q_a = \frac{\text{cos}(\delta_{max})}{\text{sen}(\delta_{max})} \cdot P_a - \frac{|V_a|^2}{X_d}$$

$$y = a \cdot x + b$$

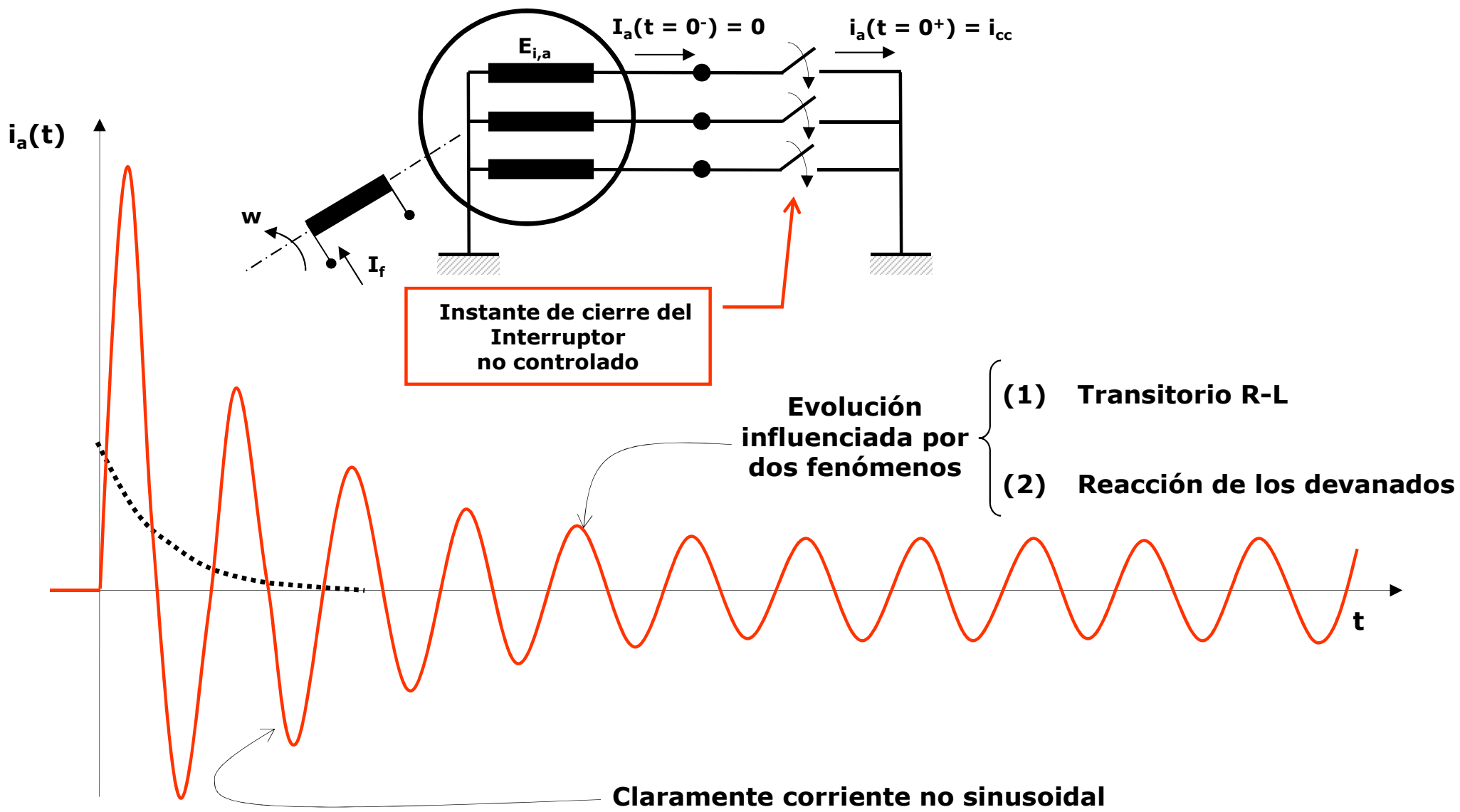
$$\left. \begin{aligned} x &= P_a \\ y &= Q_a \\ a &= \text{cos}(\delta_{max}) / \text{sen}(\delta_{max}) \\ b &= -|V_a|^2 / X_d \end{aligned} \right\}$$



(4) Límite $P_{a, mínima}$

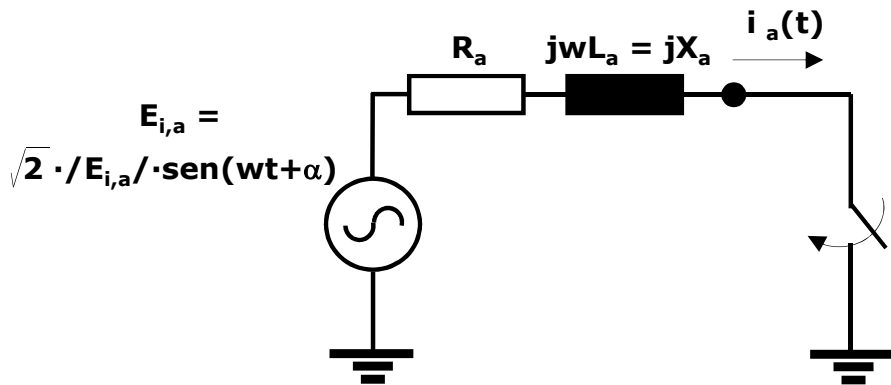
**EL GENERADOR SINCRÓNICO EN LOS CÁLCULOS DE
CORTOCIRCUITOS [UT6]
y
ESTABILIDAD TRANSITORIA [UT7]**

REACCIÓN DEL GENERADOR SINCRÓNICO ANTE UN CORTOCIRCUITO EN BORNES



REACCIÓN DEL GENERADOR SINCRÓNICO ANTE UN CORTOCIRCUITO EN BORNES

(1) Transitorio R-L



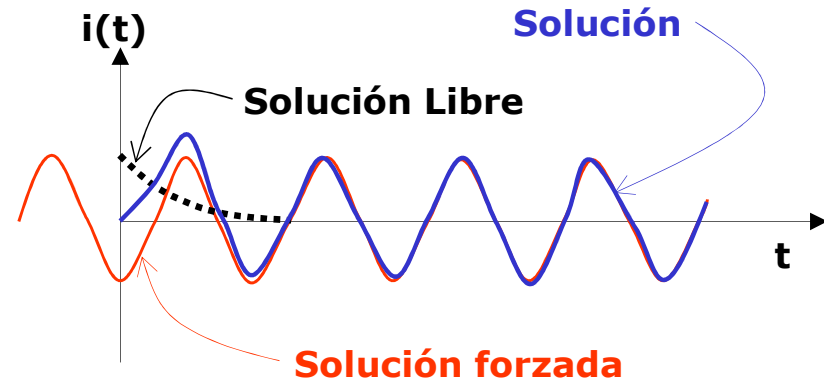
Supuesto $L_a \neq$ función de $i_a(t)$

$$E_{i,a} = L_a \cdot \frac{di_a(t)}{dt} + R_a \cdot i_a(t)$$

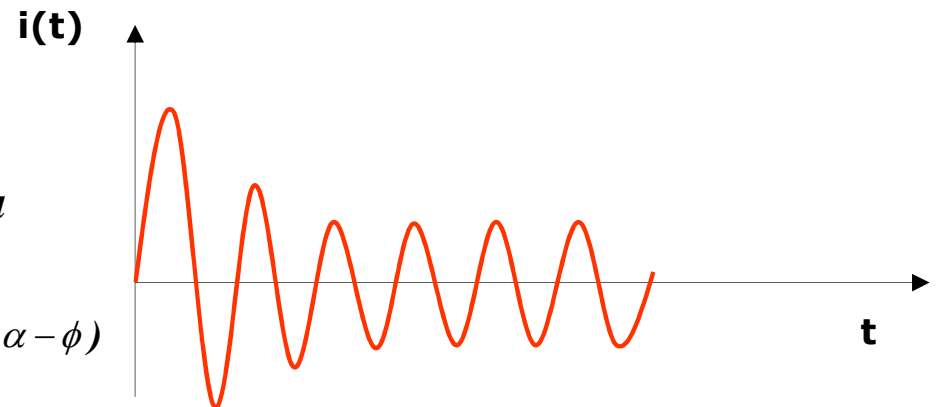
solución de $i_a(t)$ = solución libre + solución forzada

$$i_a(t) = -\frac{\sqrt{2} \cdot |E_{i,a}|}{|Z_a|} \cdot \text{sen}(\alpha - \phi) \cdot e^{-(R_a/L_a)t} + \frac{\sqrt{2} \cdot |E_{i,a}|}{|Z_a|} \cdot \text{sen}(\omega t + \alpha - \phi)$$

donde $Z_a = R_a + j\omega L_a = R_a + jX_a = |Z_a| \cdot \angle \phi$



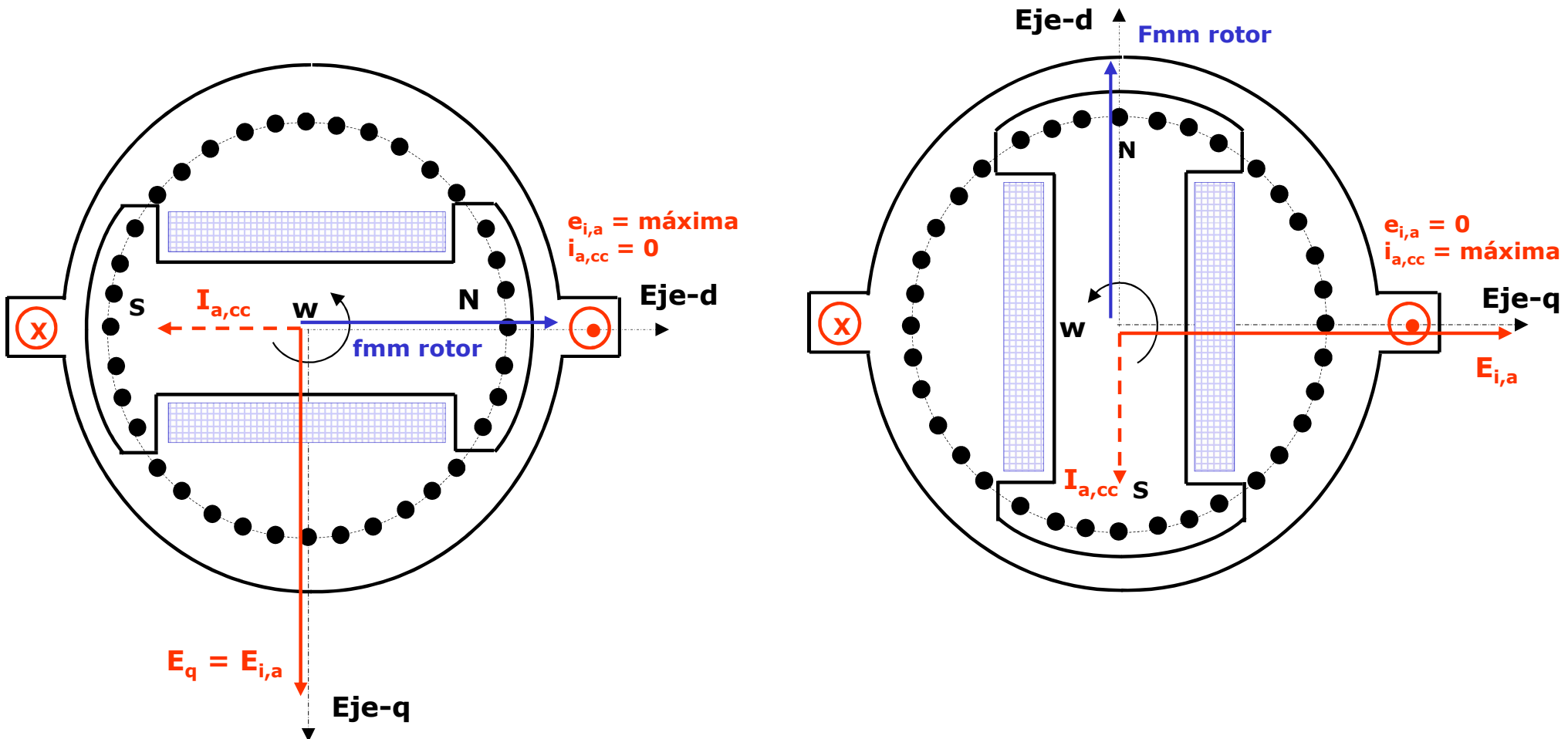
Eliminado el efecto del transitorio R-L, por cierre controlado del interruptor, se observó ...



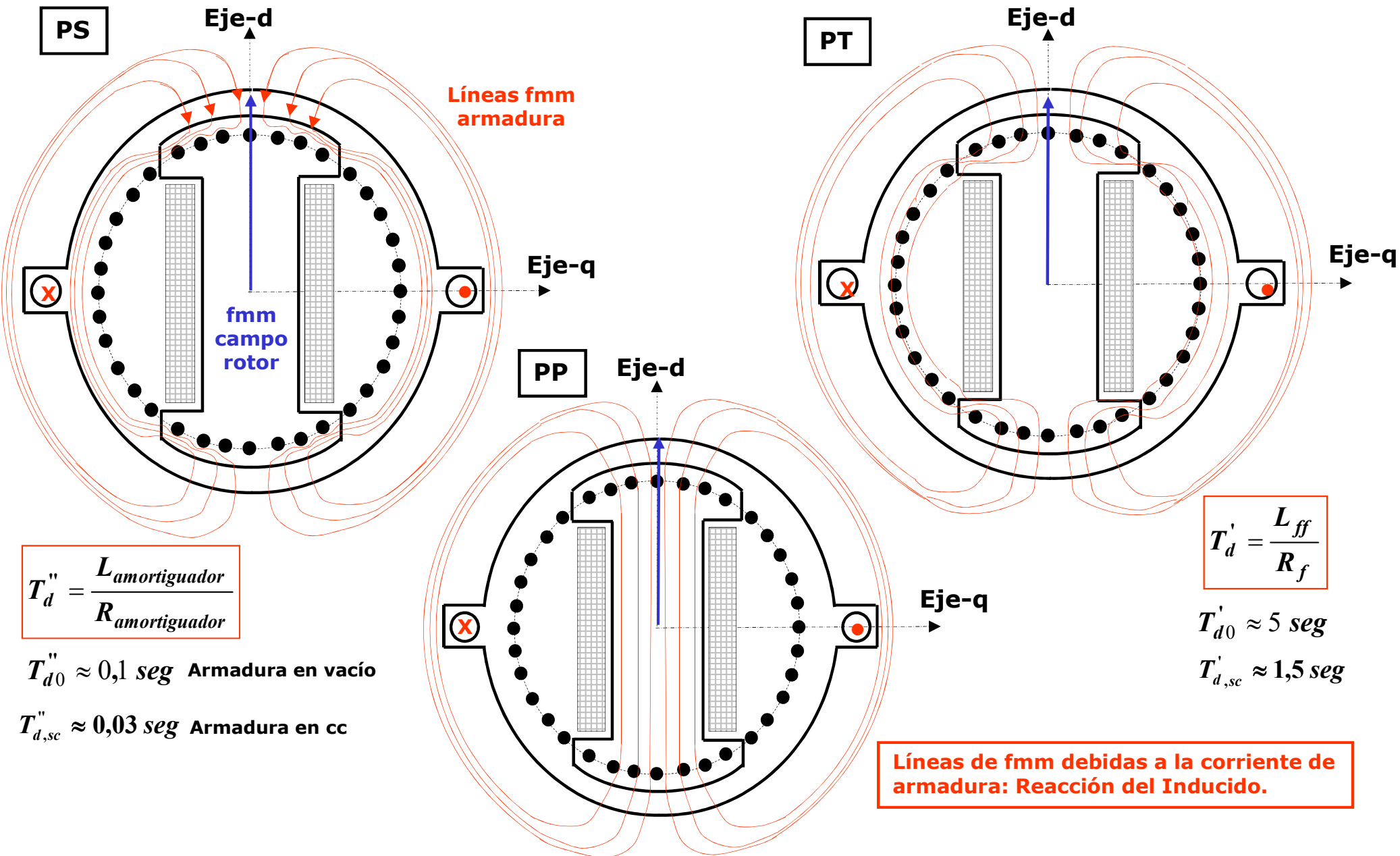
¿Qué ocasiona ahora esta excursión de la corriente?

REACCIÓN DEL GENERADOR SINCRÓNICO ANTE UN CORTOCIRCUITO EN BORNES

(2) Reacción de los devanados



REACCIÓN DEL GENERADOR SINCRÓNICO ANTE UN CORTOCIRCUITO EN BORNES



$$T_d'' = \frac{L_{amortiguador}}{R_{amortiguador}}$$

$T_{d0}'' \approx 0,1 \text{ seg}$ Armadura en vacío

$T_{d,sc}'' \approx 0,03 \text{ seg}$ Armadura en cc

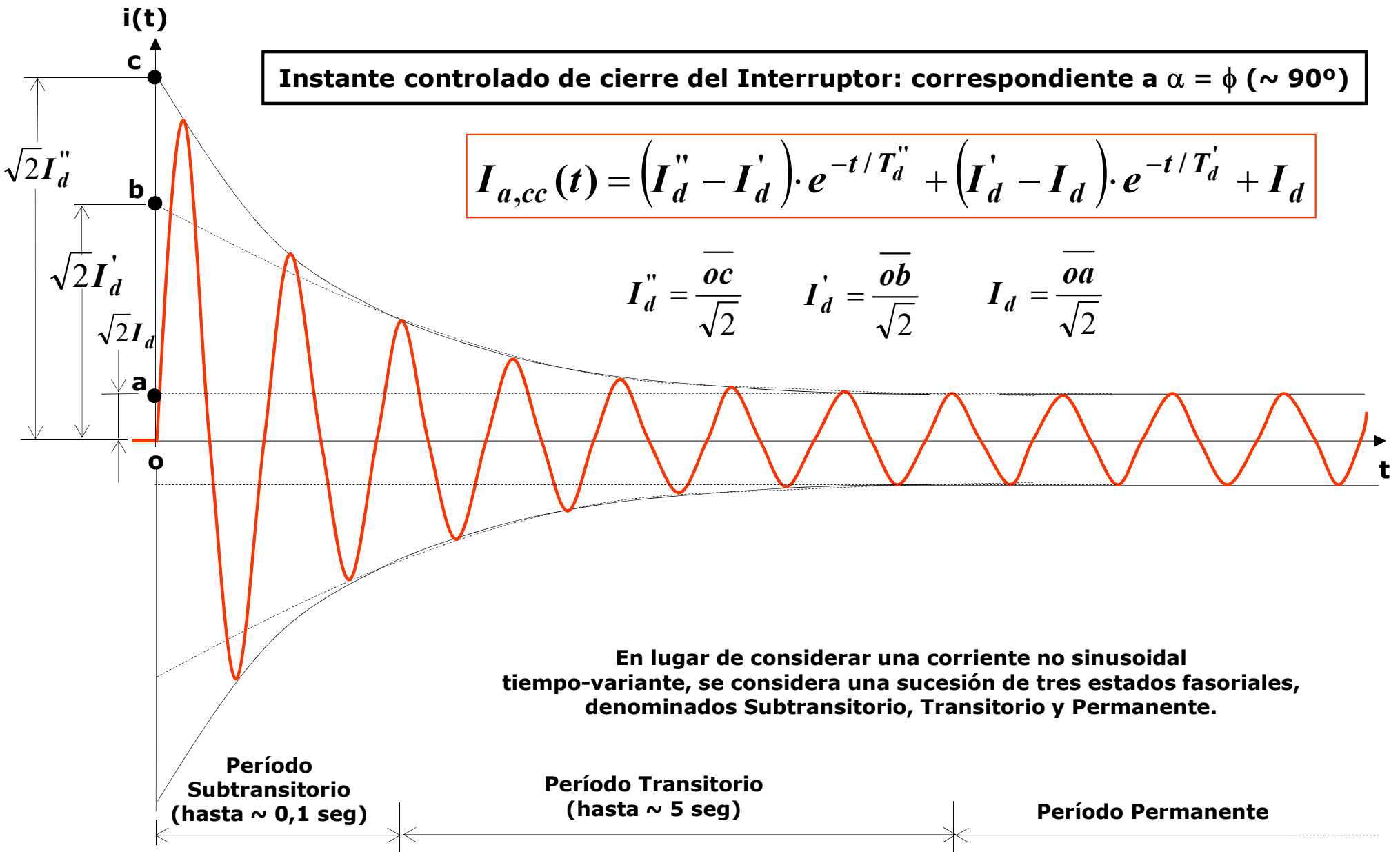
$$T_d' = \frac{L_{ff}}{R_f}$$

$T_{d0}' \approx 5 \text{ seg}$

$T_{d,sc}' \approx 1,5 \text{ seg}$

REACCIÓN DEL GENERADOR SINCRÓNICO ANTE UN CORTOCIRCUITO EN BORNES

- EVOLUCIÓN EN EL TIEMPO DE LA CORRIENTE DE CORTOCIRCUITO **SIMÉTRICA**



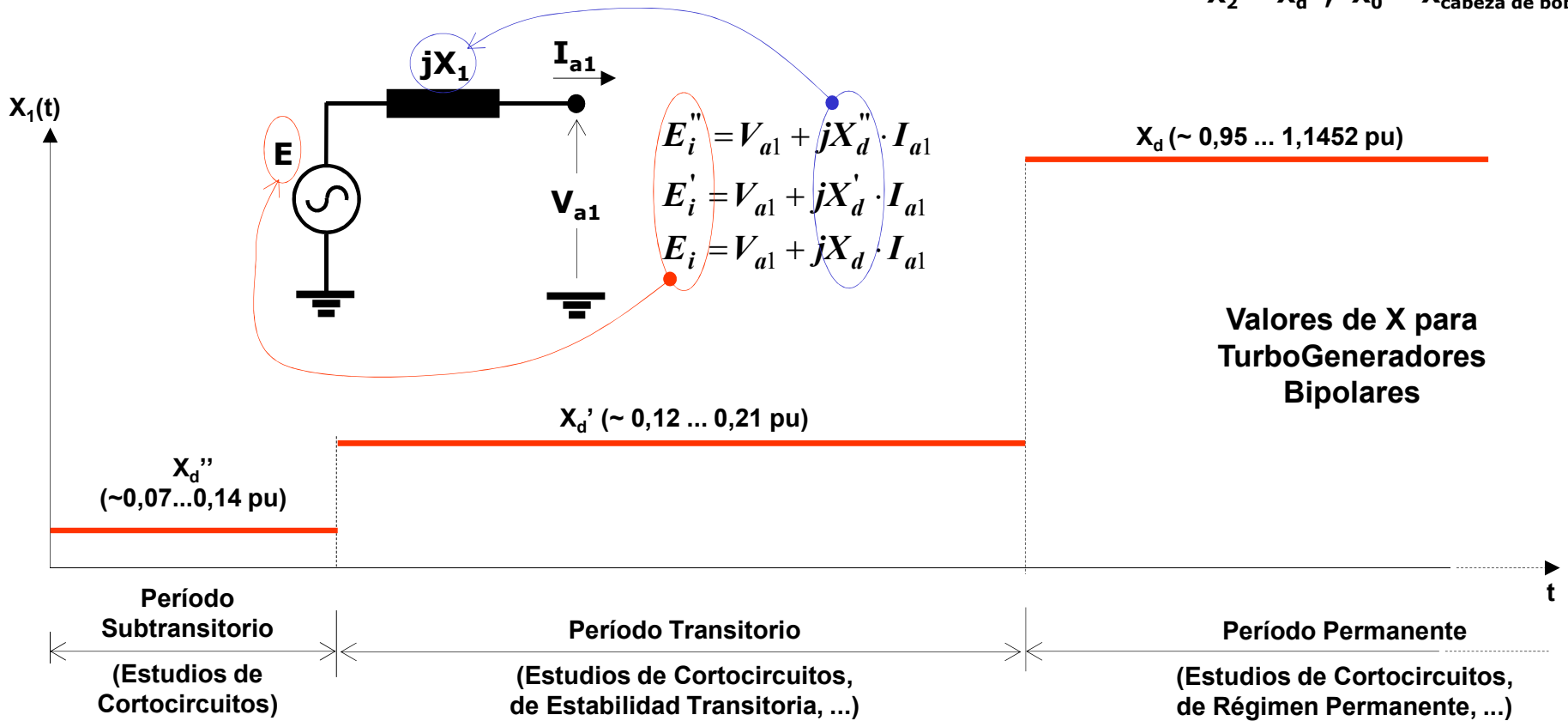
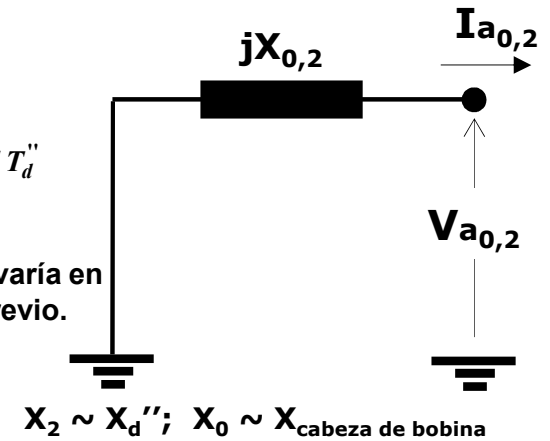
EL MODELO DE GENERADOR SINCRÓNICO

• EVOLUCIÓN EN EL TIEMPO DE UNA CORRIENTE DE CORTOCIRCUITO SIMÉTRICA

$$\left. \begin{aligned} I_d'' &= \frac{|E_i|}{X_d''} \\ I_d' &= \frac{|E_i|}{X_d'} \\ I_d &= \frac{|E_i|}{X_d} \end{aligned} \right\}$$

$$I_{a,cc}(t) = |E_i| \cdot \frac{1}{X_d} + |E_i| \cdot \left(\frac{1}{X_d'} - \frac{1}{X_d} \right) \cdot e^{-t/T_d'} + |E_i| \cdot \left(\frac{1}{X_d''} - \frac{1}{X_d'} \right) \cdot e^{-t/T_d''}$$

El efecto de la reacción de la armadura se simula asociando a cada período una X_d que varía en el tiempo, mientras se mantiene el valor de E_i invariante e igual al del estado inicial previo.



Valores de X para TurboGeneradores Bipolares

BIBLIOGRAFÍA BÁSICA RECOMENDADA.

- **William D. Stevenson y John J. Grainger "Análisis de Sistemas Eléctricos de Potencia", Editorial McGraw-Hill. México, 1.995.**
- **Enrique Ras "Teoría de Líneas Eléctricas", Volumen II. Editorial Marcombo. Barcelona, 1.973.**
- **J. Duncan Glover y Mulukutla S. Sarma "Sistemas de Potencia – Análisis y Diseño", International Thomson Editores. México, 2.004.**
- **Charles A. Gross "Análisis de Sistemas de Potencia", Nueva Editorial Interamericana, México 1982.**
- **Hugo Carranza y Miguel Martín "Sistemas Eléctricos de Potencia", Librería y Editorial Alsina, Buenos Aires, 2007.**

FIN UT3